

Министерство высшего и среднего специального образования СССР

Московское ордена Ленина, ордена Октябрьской Революции
и ордена Трудового Красного Знамени
высшее техническое училище им. Н. Э. Баумана

И. А. МИХАЛЕВ, Б. Н. ОКОЕЛОВ

ТИПОВЫЕ ПРИМЕРЫ РАСЧЕТА
СТРУКТУР АВТОПИЛОТА

Учебное пособие по курсу
«Проектирование автопилотов»

Министерство высшего и среднего специального образования СССР

Московское ордена Ленина, ордена Октябрьской Революции
и ордена Трудового Красного Знамени
высшее техническое училище им. Н. Э. Баумана

И. А. Михалев, Б. Н. Окоемов

Утверждено редсоветом МВТУ
как учебное пособие

ТИПОВЫЕ ПРИМЕРЫ РАСЧЕТА СТРУКТУР АВТОПИЛОТА

Учебное пособие
по курсу
"Проектирование автопилотов"

Под редакцией А. К. Неусыгина

Данное учебное пособие издается в соответствии с учебным планом.

Рассмотрено и одобрено кафедрой П-4 02.12.83 г., методической комиссией факультета П 21.12.83 г. и учебно-методическим управлением 27.02.84 г.

Рецензенты: к.т.н. доц. ВЭИ Черемисинова С.Н.,
к.т.н. доц. МВТУ Карабанов В.А.

© Московское высшее техническое училище им. Н.Э.Баумана

Оглавление

Введение	3
Глава 1. Основная исходная документация для проектирования АП	4
Глава 2. Математическая модель движения ЛА	5
Глава 3. Первичные законы управления АП	10
Глава 4. Общий принцип синтеза структуры АП	15
Глава 5. Вывод формул для расчета передаточных чисел АП	17
Глава 6. Порядок выполнения расчета структуры АП	47
Литература	48

Редактор В.М.Царев

Корректор В.Т.Карасева

Заказ 374. Объем 3 п.л. (Зуч.-изд.л.)
Л-83656 от 28.12.84 г. Цена II кол.

Тираж 300 экз.
План 1984 г., № 36.

Типография МВТУ. 107005, Москва, Б-5, 2-я Бауманская, 5.

ВВЕДЕНИЕ

Первым вопросом, с решением которого сталкивается разработчик автопилота, является вопрос перевода требований технического задания (ТЗ) на язык характеристик автопилота (АП), обеспечивающих требуемое качество управления полетом летательного аппарата (ЛА). Решение этого вопроса связано с проведением комплекса различного рода расчетов, для выполнения которых необходимо иметь математическое описание движения ЛА и работы АП.

Математическое описание движения ЛА при управлении с учетом воздействий внешних возмущений на параметры его движения составляет математическую модель движения ЛА.

Математическое описание функционирования реального АП, характеризующее преобразование входных возмущений и начальных состояний ЛА в выходной сигнал АП, образует математическую модель АП, или его структуру.

При синтезе структуры АП чрезвычайно желательно, чтобы все переменные состояния системы были непосредственно наблюдаемы и измеряемы. Набор датчиков первичной информации (ДПИ) на борту ЛА, как правило, регламентирован, и их характеристики априорно известны. Ограничен и класс структур сервоприводов АП. Поэтому синтез структуры АП является задачей параметрической оптимизации заданной первичной структуры АП, при которой оптимизации подлежит ограниченное число ее параметров.

Трудности формирования структуры АП в основном обусловлены нестационарностью характеристик ЛА как объекта управления по режимам его полета. Поэтому процедура синтеза структуры АП является многоэтапной и предусматривает:

- задание первичного закона управления АП;
- параметрическую оптимизацию выбранной первичной структуры АП для конкретных фиксированных режимов полета ЛА;
- расчет законов изменения параметров АП по режимам полета ЛА;
- моделирование системы "ЛА - АП" с учетом реальных характеристик ЛА, его проводки управления и характеристик АП.

В данном учебном пособии рассмотрены первые три этапа общей процедуры проектирования структуры АП^{*)}.

*) Основы четвертого этапа проектирования структуры АП изложены в [2].

Глава I. ОСНОВНАЯ ИСХОДНАЯ ДОКУМЕНТАЦИЯ ДЛЯ ПРОЕКТИРОВАНИЯ АП

Для разработки АП необходимой начальной информацией являются тактико-технические характеристики ЛА и техническое задание на разработку АП. Процедура проектирования АП начинается с составления, утверждения и анализа этих документов.

I.1. Тактико-технические данные ЛА

Тактико-технические данные включают:

- 1) Геометрические данные ЛА.
- 2) Массовые характеристики ЛА.
- 3) Аэродинамические характеристики ЛА.
- 4) Кинематические и кинетические характеристики ЛА.
- 5) Эксплуатационные характеристики ЛА.
- 6) Характеристики управляемости пилотируемого ЛА.
- 7) Характеристики проводки управления ЛА.
- 8) Условия работы АП на ЛА.

I.2. Типовое техническое задание на разработку АП

ТЗ содержит следующие основные вопросы:

- 1) Назначение АП и выполняемая функция.
- 2) Состав (комплектность) АП.
- 3) Технические требования:

а) основные технические характеристики АП:

точность стабилизации ЛА в невозмущенной атмосфере. При включенном АП стабилизация курса ЛА должна осуществляться при углах крена, меньших $\pm 7^\circ$;

максимальная скорость эволюции ЛА при автоматическом управлении;

выход на заданную координату управления должен осуществляться с перерегулированием $\sigma_z < \sigma_{zог}$;

время регулирования не должно превышать $t_{рег з} < t_{рег зог}$;

б) масса АП m , кг;

в) напряжения питания;

г) потребляемые токи;

д) время готовности АП к включению;

е) габариты АП;

ж) условия эксплуатации, применения, транспортировки и хранения;

з) ресурс и срок службы.

- 4) Требования к надежности АП.
- 5) Требования к автоматизированному контролю.
- 6) Конструктивные требования.
- 7) Взаимодействующие изделия.
- 8) Требования к стандартизации, нормализации и унификации узлов и деталей АП.
- 9) Документация, подлежащая дополнительному согласованию с заказчиком.
- 10) Порядок испытаний и приемки опытного образца (или образцов).
- 11) Возможность использования разрабатываемого АП на других ЛА.
- 12) Другие требования.

В процессе проектирования АП отдельные пункты уточняются и корректируются.

Глава 2. МАТЕМАТИЧЕСКАЯ МОДЕЛЬ ДВИЖЕНИЯ ЛА

При синтезе структуры АП непосредственным объектом исследования является математическая модель движения ЛА, отражающая его реальные свойства. В [1] показано, что на ранних стадиях синтеза АП допустимо использовать линейную модель движения ЛА, что объясняется рядом причин:

формы большинства ЛА таковы, что на основных рабочих режимах справедливы линейные зависимости сил и моментов от кинематических параметров [3];

при правильно спроектированной системе ошибка $\varepsilon(t)$ в принципе не может быть большой;

при использовании первой теоремы Ляпунова вопрос об устойчивости нелинейной системы можно решить на основе линейной аппроксимации;

за время регулирования по координате управления для большинства случаев параметры нестационарного объекта стабилизации меняются слабо.

Все это позволяет воспользоваться уравнениями для малых отклонений относительно некоторого опорного режима полета (программы полета).

В общем виде линейная модель движения ЛА может быть представлена как

$$\ddot{x}(t) = A \cdot x(t) + B \cdot u(t), \quad t \geq 0, \quad (2.1)$$

где для продольного движения ЛА

$$A_n = \begin{vmatrix} -c_1' & -c_2' & -c_3' & 0 & c_{10}' \\ 1 & -c_4 & -e_2' & 0 & -c_6 \\ 0 & -c_8 & -e_1 & 0 & -c_7 \\ 0 & c_6 & c_{11} & 0 & -c_6 \\ 1 & 0 & 0 & 0 & 0 \end{vmatrix} \quad \begin{aligned} c_1' &= c_1 + c_5; \\ c_2' &= c_2 - c_4 c_5; \\ c_{10}' &= c_5 \cdot c_{10}; \\ e_3' &= e_3 - c_5 e_1; \end{aligned}$$

$$x_n^T(t) = \|\omega_z(t) \quad \alpha(t) \quad \Delta V(t) \quad \Delta H(t) \quad \Delta \varphi(t)\|$$

$$B_n^T = \begin{vmatrix} -c_3 & c_9 & 0 & 0 & 0 \\ z_3 & z_4 & z_2 & 0 & 0 \end{vmatrix}$$

$$U_n^T(t) = \|\sigma_s^*(t) \quad \sigma_{c.5}(t)\|$$

для бокового движения ЛА

$$A_6 = \begin{vmatrix} -b_1 & -a_6 & -b_2 & 0 & 0 \\ -b_6 & -a_1 & -a_2 & 0 & 0 \\ b_7 & a_8 & -a_4 & b_4 & 0 \\ 1 & -a_9 & 0 & b_8 & 0 \\ 0 & a_{10} & 0 & -b_9 & 0 \end{vmatrix}$$

$$x_6^T(t) = \|\omega_x(t) \quad \omega_y(t) \quad \beta(t) \quad \gamma(t) \quad \psi(t)\|$$

$$B_6^T = \begin{vmatrix} -a_5 & -a_3 & -a_7 & 0 & 0 \\ -b_3 & -b_5 & 0 & 0 & 0 \end{vmatrix}$$

$$U_6^T(t) = \|\sigma_H^*(t) \quad \sigma_g^*(t)\|$$

здесь

$$c_1 = -0.5 m_2 \omega_2^2 \rho V S \beta_A^2 I_{zz}^{-1};$$

$$c_2 = -0.5 m_2^* \rho V^2 S \beta_A I_{zz}^{-1};$$

$$c_3 = -0.5 m_2^* \rho V^2 S \beta_A I_{zz}^{-1};$$

$$c_4 = (c_y^* + c_x) 0.5 \rho V S m^{-1};$$

$$c_5 = -0.5 m_2^* \rho V S \beta_A^2 I_{zz}^{-1};$$

$$c_6 = 0.01745 V \cos \theta_0;$$

$$c_7 = 0.01745 g \cos \theta_0;$$

$$c_8 = 0.01745 (c_x^* - c_y) \rho V^2 \frac{S}{2m};$$

$$c_9 = 0.5 c_y^* \rho V S m^{-1};$$

$$c_{10} = g V^{-1} \sin \theta_0;$$

$$c_{11} = \sin \theta_0;$$

$$e_1 = (c_x + 0.5 c_x^* M - \rho V^{-1} V^{-1} S^{-1}) \rho V S m^{-1};$$

$$e_2 = (c_y + 0.5 c_x^* M) \cdot 0.73 \rho S m^{-1};$$

$$e_3 = -0.5 \{ [m_2^* a^{-1} + 2(c_x + c_{ym} \sin \theta_0) \rho V^{-1} S^{-1}] \frac{\rho V^2 S \beta_A - \rho V}{2} \} I_{zz}^{-1};$$

$$a_1 = -0.25 (I_{xx} I_{yy} - I_{xy}^2)^{-1} [I_{xx} (-m_x^* \omega_x^* \operatorname{tg} \alpha + m_y^* \omega_y^*) + I_{xy} (m_x^* \omega_x^* + m_y^* \omega_y^* \operatorname{tg} \alpha)] \rho V S l^2;$$

$$a_2 = -0.5 (I_{xx} I_{yy} - I_{xy}^2)^{-1} [I_{xx} (m_x^* \operatorname{tg} \alpha + m_y^*) + I_{xy} (m_x^* \omega_x^* + m_y^* \operatorname{tg} \alpha)] \rho V S l^2;$$

$$a_3 = -0.5 (I_{xx} I_{yy} - I_{xy}^2)^{-1} [I_{xx} (-m_x^* \operatorname{tg} \alpha + m_y^* \omega_y^*) + I_{xy} (m_x^* \omega_x^* + m_y^* \operatorname{tg} \alpha)] \rho V S l^2;$$

$$a_4 = -0.5 c_2^* \rho V S m^{-1};$$

$$a_5 = a_3 \sin \alpha - 0.5 (I_{xx} I_{yy} - I_{xy}^2)^{-1} [I_{yy} (m_x^* \omega_x^* \cos \alpha + m_y^* \omega_y^* \sin \alpha) + I_{xy} (m_y^* \omega_y^* \cos \alpha - m_x^* \omega_x^* \sin \alpha)] \rho V S l^2;$$

$$a_6 = a_4 \sin \alpha - 0.25 (I_{xx} I_{yy} - I_{xy}^2)^{-1} [I_{yy} (m_x^* \omega_x^* \cos \alpha + m_y^* \omega_y^* \sin \alpha) + I_{xy} (m_y^* \omega_y^* \cos \alpha - m_x^* \omega_x^* \sin \alpha)] \rho V S l^2;$$

$$a_7 = -0.5 c_2^* \rho V S m^{-1}; \quad a_8 = \cos \alpha I_{xy} (m_y^* \omega_y^* \cos \alpha - m_x^* \omega_x^* \sin \alpha) \rho V S l^2;$$

$$a_9 = \operatorname{tg}^2 \psi \cos \psi; \quad a_{10} = \sec \alpha;$$

$$b_1 = b_6 \sin \alpha - 0.25 (I_{xx} I_{yy} - I_{xy}^2)^{-1} \{ I_{yy} [(m_x^* \omega_x^* \cos \alpha + m_y^* \omega_y^* \sin \alpha) + (m_x^* \omega_x^* + m_y^* \omega_y^*) \sin \alpha \cos \alpha] + I_{xy} [m_y^* \omega_y^* \cos \alpha - m_x^* \omega_x^* \sin \alpha + (m_y^* \omega_y^* - m_x^* \omega_x^*) \sin \alpha \cos \alpha] \} \rho V S l^2;$$

$$b_2 = a_2 \sin \alpha - 0.5 (I_{xx} I_{yy} - I_{xy}^2)^{-1} [I_{yy} (m_x^* \omega_x^* \cos \alpha + m_y^* \omega_y^* \sin \alpha) + I_{xy} (m_y^* \omega_y^* \cos \alpha - m_x^* \omega_x^* \sin \alpha)] \rho V S l^2;$$

$$b_3 = b_3 \sin \alpha - 0,5(I_{xx} - I_{yy})^{-1} [I_{yy}(m_x^0 \cos \alpha + m_y^0 \sin \alpha) +$$

$$+ I_{xy}(m_y^0 \cos \alpha - m_x^0 \sin \alpha)] \rho V^2 S c;$$

$$b_4 = \frac{g}{V};$$

$$b_5 = -0,5(I_{xx} I_{yy} - I_{xy}^2)^{-1} [I_{xx}(-m_x^0 \operatorname{tg} \alpha + m_y^0) + I_{xy}(m_x^0 + m_y^0 \operatorname{tg} \alpha)] \times$$

$$\times \rho V^2 S c;$$

$$b_6 = -0,25 \sec \alpha (I_{xx} I_{yy} - I_{xy}^2)^{-1} \{ [(m_y^0 - m_x^0) \sin \alpha \cos \alpha -$$

$$+ m_x^0 \sin^2 \alpha + m_y^0 \cos^2 \alpha] + I_{xx} [m_x^0 \cos^2 \alpha +$$

$$+ m_y^0 \sin^2 \alpha + (m_x^0 + m_y^0) \sin \alpha \cos \alpha] \} \rho V^2 S c;$$

$$b_7 = \sin \alpha;$$

$$b_8 = \omega_2 \operatorname{tg} \nu;$$

$$b_9 = c_4 \Delta \alpha.$$

Примерные диапазоны изменения величин коэффициентов уравнений движения ЛА (2.1) по режимам его полета равны:

$$c_1 = 0,1 \div 1,8;$$

$$c_2 = -0,05 \div 8,0;$$

$$c_3 = 0,3 \div 4,0;$$

$$c_4 = 0,08 \div 2,0;$$

$$c_5 = 0 \div 0,7;$$

$$c_6 = 1,3 \div 16;$$

$$c_7 = 0,1712;$$

$$c_8 = 0,005 \div 0,8;$$

$$c_9 = 0,014 \div 0,25;$$

$$c_{10} \approx 0 \quad (\text{для Г.П.});$$

$$c_{11} \approx 0 \quad (\text{для Г.Л.});$$

$$b_1 = 0,3 \div 1,5;$$

$$b_2 = 0,8 \div 18,0;$$

$$b_3 = 0,6 \div 60;$$

$$b_4 = 0,012 \div 0,1;$$

$$b_5 = -3,0 \div 0,8;$$

$$b_6 = -0,01 \div 0,2;$$

$$b_7 \approx 0 \div 0,5;$$

$$b_8 = \omega_2 \operatorname{tg} \nu;$$

$$b_9 = c_4 \Delta \alpha.$$

$$e_1 = -0,03 \div 0,025;$$

$$e_2 = 0,004 \div 0,15;$$

$$e_3 = 0,003 \div 0,08;$$

$$a_1 = 0,03 \div 0,6;$$

$$a_2 = 0,4 \div 4,0;$$

$$a_3 = 0,3 \div 8,5;$$

$$a_4 = 0,03 \div 0,8;$$

$$a_5 = 0,1 \div 15,0;$$

$$a_6 = 0,05 \div 3,0;$$

$$a_7 = 0,002 \div 0,08;$$

$$a_8 = \cos \alpha;$$

$$a_9 = \operatorname{tg} \nu \cdot \cos \mu;$$

$$a_{10} = \sec \alpha.$$

В ряде случаев стационарная модель движения ЛА (2.1) допускает дальнейшие упрощения: продольное движение ЛА при коэффициенте $c_2 > 0$ (производная $m_z^0 < 0$) может быть представлено в виде изолированных короткопериодического и длиннопериодического движений, а боковое движение при выполнении условия

$$b_1(a_1 a_4 + a_2) - b_2 b_6 + a_1 b_2 b_7 - a_6(a_4 b_6 + a_2 b_7) \geq 2 b_2 b_4$$

в виде "быстрого" бокового движения в углах рыскания - скольжения - крена (без учета спиральной составляющей $b_4 \neq 0$) и при

$$b_1(a_1 a_4 + a_2) \geq 2[a_1 b_2 b_7 - b_2 b_6 - a_6(a_4 b_6 + a_2 b_7)] \quad (2.2)$$

в виде изолированных "быстрых" движений в углах рыскания - скольжения и по углу крена.

Для упрощенных движений ЛА матрицы A_i , x_i , z_i и u_i имеют вид:

для короткопериодического продольного движения ЛА ($\Delta V = 0$)

$$A_{\text{пк}} = \begin{pmatrix} -c_1 & -c_2 & 0 & -c_0 \\ 1 & c_4 & 0 & -c_0 \\ 0 & -c_6 & 0 & c_6 \\ 1 & 0 & 0 & 0 \end{pmatrix} \quad \text{и} \quad \text{вектор} \quad \begin{pmatrix} -c_5 \\ -c_9 \\ 0 \\ 0 \end{pmatrix}$$

$$x_{\text{ЛК}}^T(t) = \|\omega_z(t) \quad \alpha(t) \quad \Delta H(t) \quad z^0(t)\|$$

$$u_{\text{ЛК}}^T(t) = \|\sigma_z^0(t)\|$$

для длиннопериодического продольного движения (при $c_2 > 0$)

$$A_{\text{ЛК}} = \begin{vmatrix} -c_1 & 0 & 0 & 0 \\ 0 & -c_2 & 0 & 0 \\ 0 & 0 & +c_2 & 0 \\ 0 & 0 & 0 & -c_1 \end{vmatrix} \quad B_{\text{ЛК}} = \begin{vmatrix} -c_2 & c_2 & -c_2 \\ 0 & 0 & 0 \\ 0 & 0 & 0 \\ 0 & 0 & 0 \end{vmatrix}$$

$$x_{\text{ЛК}}^T(t) = \|\omega_z(t) \quad \Delta V(t) \quad \Delta H(t) \quad \Delta \psi(t)\|$$

$$u_{\text{ЛК}}^T(t) = \|\sigma_z^0(t) \quad \sigma_{c,r}(t)\|$$

для бокового движения рыскания - скольжения ($\beta(t) \neq 0$)

$$A_{\text{БРС}} = \begin{vmatrix} a_8 & -a_4 \\ -a_1 & -a_2 \end{vmatrix} \quad B_{\text{БРС}} = \begin{vmatrix} -a_7 \\ -a_3 \end{vmatrix}$$

$$x_{\text{БРС}}^T(t) = \|\beta(t) \quad \omega_y(t)\| \quad u_{\text{БРС}}^T(t) = \|\sigma_{\beta}(t)\|$$

для бокового движения по крену ($\beta(t) \neq 0$)

$$A_{\text{БК}} = \begin{vmatrix} -b_1 & -a_6 & 0 & 0 \\ -b_2 & -a_1 & 0 & 0 \\ 1 & -a_9 & b_8 & 0 \\ 0 & a_{10} & -b_9 & 0 \end{vmatrix} \quad B_{\text{БК}} = \begin{vmatrix} -b_3 \\ -b_5 \\ 0 \\ 0 \end{vmatrix}$$

$$x_{\text{БК}}^T(t) = \|\omega_x(t) \quad \omega_y(t) \quad \beta(t) \quad \beta(t)\|$$

$$u_{\text{БК}}^T(t) = \|\sigma_{\beta}^0(t)\|$$

Глава 3. ПЕРВИЧНЫЕ ЗАКОНЫ УПРАВЛЕНИЯ АП

В учебном пособии в качестве координат управления (стабилизации) рассмотрены: $\Delta \hat{\gamma}_y$ - приращение нормальной перегрузки;

$\hat{\gamma}(t)$ - угол тангажа; $\hat{\alpha}(t)$ - угол крена; $\hat{\psi}(t)$ - угол курса;

$$\Delta \hat{\gamma}_y = \hat{\gamma}_y - 1. \quad (3.1)$$

При формировании закона управления АП электрические сигналы $\Delta \gamma_y(t)$, $z^0(t)$, $\beta(t)$ и $\psi(t)$, пропорциональные текущим величинам

приращения нормальной перегрузки $\Delta \hat{\gamma}_y(t)$, углом тангажа $\hat{\gamma}(t)$, крена $\hat{\alpha}(t)$ и курса $\hat{\psi}(t)$, поступают в схему АП с соответствующих датчиков первичной информации (ДПИ), а именно: датчика линейного ускорения (ДЛУ или акселерометра), датчика угловых скоростей (ДУС), гировертикали (ГВ) и курсовой системы (КС).

Таким образом, разработчик АП оперирует не самими параметрами движения ЛА ($\Delta \hat{\gamma}_y(t)$, $\hat{\omega}_z(t)$ и т.д.), а их электрическими аналогами - выходными сигналами ДПИ: $\Delta \gamma(t)$, $\omega_z(t)$ и т.д. В первом приближении связь между действительным значением параметра движения ЛА и его электрическим аналогом с учетом динамических характеристик ДПИ в операторной форме записывается следующим образом:

$$\Delta \gamma_y(s) \approx \frac{K_{\Delta \gamma y}}{T_{\Delta \gamma y}^2 s^2 + 2\zeta_{\Delta \gamma y} T_{\Delta \gamma y} s + 1} \cdot \Delta \hat{\gamma}_y(s); \quad (3.2)$$

$$\omega_x(s) \approx \frac{K_{\Delta \omega x}}{T_{\Delta \omega x}^2 s^2 + 2\zeta_{\Delta \omega x} T_{\Delta \omega x} s + 1} \omega_x^0(s), \quad \kappa = x, y, z; \quad (3.3)$$

$$z^0(s) \approx K_{z^0} \hat{z}^0(s); \quad (3.4)$$

$$\beta(s) \approx K_{\beta} \hat{\beta}(s); \quad (3.5)$$

$$\Delta \psi(s) \approx K_{\Delta \psi} \Delta \hat{\psi}(s). \quad (3.6)$$

При правильно подобранных динамических характеристиках ДПИ, например при собственной частоте ДПИ, равной

$$\left. \begin{aligned} \Omega_{\Delta \gamma y} &\geq (8+10) \Omega_{\text{с.л.л.}}, \\ \Omega_{\Delta \omega x} &\geq (8+10) \Omega_{\text{с.л.л.}}, \\ \Omega_{\Delta \psi} &\geq (8+10) \Omega_{\text{с.л.л.}}, \end{aligned} \right\} \quad (3.7)$$

где $\Omega_{\Delta \gamma y} = 1/T_{\Delta \gamma y}$; $\Omega_{\Delta \omega x} = 1/T_{\Delta \omega x}$,

влиянием динамики ДПИ на качество управления системы "ЛА - АП" можно пренебречь. Тогда допустимо принять, что

$$\Delta \gamma_y(s) \approx K_{\Delta \gamma y} \Delta \hat{\gamma}_y(s), \quad (3.8)$$

$$\omega_x(s) \approx K_{\Delta \omega x} \omega_x^0(s). \quad (3.9)$$

заданные сигналы $\Delta \hat{\gamma}_y(t)$, $\hat{\omega}_z(t)$, $\hat{\beta}(t)$ и $\Delta \hat{\psi}(t)$

и т.д. -

электрические аналоги параметров $\Delta \dot{\gamma}_{зад}(t)$, $\dot{\gamma}_{зад}(t)$, $\dot{\delta}_{зад}(t)$ и т.д. - вводят в АП от соответствующих задатчиков, причем

$$\Delta \dot{\gamma}_{зад}(t) \approx K_{дл\gamma} \cdot \Delta \dot{\gamma}_{зад}(t); \quad (3.10)$$

$$\dot{\gamma}_{зад}(t) \approx K_{г\gamma} \dot{\gamma}_{зад}(t).$$

Автопилот стабилизации и управления приращением нормальной перегрузки (АП_{пγ}) имеет, как правило, сервопривод с жесткой обратной связью (СПЖОС), поэтому первичный закон управления АП_{пγ} формируется как интегральный закон, который в операторной форме записывается как

$$d_B^* = W_{сн}^{*жос}(s) [\mu \omega_z + i_{п\gamma} \Delta \dot{\gamma} + \frac{\nu_{п\gamma}}{s} (\Delta \dot{\gamma} - \Delta \dot{\gamma}_{зад})] \quad (3.11)$$

или

$$d_B^* = W_{сн}^{*жос}(s) [\mu \omega_z + i_{п\gamma} (\Delta \dot{\gamma} - \Delta \dot{\gamma}_{зад}^*) + \frac{\nu_{п\gamma}}{s} (\Delta \dot{\gamma} - \Delta \dot{\gamma}_{зад}^*)], \quad (3.12)$$

где $W_{сн}^{*жос}(s)$ - передаточная функция сервопривода с жесткой обратной связью,

$$\Delta \dot{\gamma}_{зад}^* = \frac{1}{T_{ф\gamma} s + 1} \Delta \dot{\gamma}_{зад}; \quad (3.13)$$

$$\mu = \frac{\text{град} \cdot d_B^*}{\text{град} \cdot \omega_z}; \quad i_{п\gamma} = \frac{\text{град} \cdot d_B^*}{\text{ег} \cdot \Delta \dot{\gamma}}; \quad \nu_{п\gamma} = \frac{\text{град} \cdot d_B^*}{\text{ег} \cdot \Delta \dot{\gamma}}$$

передаточные числа АП_{пγ} по сигналам угловой скорости ЛА $\omega_z(t)$, отклонению и интегралу отклонения приращения нормальной перегрузки от ее заданного значения;

$T_{ф\gamma}$ - постоянная времени фильтра нижних частот в цепи сигнала

$\Delta \dot{\gamma}_{зад}$. Интегральный член $\frac{\nu_{п\gamma}}{s} (\Delta \dot{\gamma} - \Delta \dot{\gamma}_{зад}^*)$ введен в закон управления АП_{пγ} для обеспечения астатизма вывода системы

"ЛА - АП_{пγ}" на заданное значение приращения нормальной перегрузки. Член $\mu \omega_z$ обеспечивает требуемое демпфирование системы "ЛА - АП_{пγ}" в переходных процессах.

Сервопривод автопилота стабилизации и управления углом тангажа ЛА может быть с жесткой (СПЖОС), скоростной (СПСОС) и изодромной (СПИСС) обратными связями.

12

Первичные законы управления АП имеют вид

$$d_B^* \approx W_{сн}^{*жос}(s) [\mu \omega_z + i_{п\gamma} (\dot{\gamma} - \dot{\gamma}_{зад})]; \quad (3.14)$$

$$d_B^* = W_{сн}^{*жос}(s) [\mu_B \omega_z + \nu_B \frac{T_{п\gamma} s + 1}{s} (\dot{\gamma} - \frac{1}{T_{п\gamma} s + 1} \dot{\gamma}_{зад})], \quad (3.15)$$

где ν_B - передаточное число АП_{пγ} по сигналу интеграла тангажа;

$$T_{п\gamma} = \frac{1}{\nu_B}. \quad (3.16)$$

АП_п СОС

$$d_B^* \approx W_{сн}^{СОС}(s) [\mu_B \omega_z + i_B \omega_z + \nu_B (\dot{\gamma} - \dot{\gamma}_{зад})] \quad (3.17)$$

(сигнал производной $\nu_B s \omega_z$ вводится в закон управления для устранения колебаний системы "ЛА - АП_п" по углу тангажа в переходном режиме);

АП_п ПСС

$$d_B^* \approx W_{сн}^{ПСС}(s) [\mu_B \omega_z + i_B (\dot{\gamma} - \dot{\gamma}_{зад})]. \quad (3.18)$$

Автопилот стабилизации бокового движения ЛА состоит из двух каналов: канала руля направления (иногда его не совсем точно называют каналом курса) и канала элеронов (который также не совсем точно называют каналом крена).

Классификация автопилотов стабилизации бокового движения связана с характером автоматического управления ЛА по курсу. Если позиционный сигнал курса поступает только в канал руля направления, то автопилот называется автопилотом прямой схемы. Если позиционный сигнал курса поступает только в канал элеронов, то автопилот называется автопилотом перекрестной схемы, и если сигнал курса поступает в оба канала, то автопилот называется автопилотом смешанной схемы.

В общем случае наиболее распространенные законы управления записываются в следующем виде.

Для АП прямой схемы -

при СП ЖОС

$$d_B^* = W_{сн}^{*жос}(s) [\mu_B \omega_z + i_B (\dot{\gamma} - \dot{\gamma}_{зад})], \quad (3.19)$$

$$d_B^* = W_{сн}^{*жос}(s) [\mu_B \omega_z + i_{п\gamma} (\dot{\gamma} - \dot{\gamma}_{зад})], \quad (3.20)$$

$$\sigma_3^* \approx W_{cn}^{noc}(s) [\mu_3 \omega_x + i_3 (\delta' - \delta'_{3ог}) + \frac{1}{S} (\delta' - \delta'_{3ог})], \quad (3.21)$$

$$\sigma_4^* \approx W_{cn}^{noc}(s) [\mu_4 \omega_y + i_4 (\psi - \psi_{3ог}) + \frac{1}{S} (\psi - \psi_{3ог})], \quad (3.22)$$

$$\sigma_3^* \approx W_{cn}^{noc}(s) [\mu_3 \omega_x + i_3 \delta' + \frac{1}{S} (\delta' - \delta'_{3ог})], \quad (3.23)$$

$$\sigma_4^* \approx W_{cn}^{noc}(s) [\mu_4 \omega_y + i_4 \psi + \frac{1}{S} (\psi - \psi_{3ог})]; \quad (3.24)$$

при СП СОС:

$$\sigma_3^* \approx W_{cn}^{coc}(s) [\mu_3^* \omega_x + i_3^* (\delta' - \delta'_{3ог})], \quad (3.25)$$

$$\sigma_4^* \approx W_{cn}^{coc}(s) [\mu_4^* \omega_y + i_4^* (\psi - \psi_{3ог})]; \quad (3.26)$$

при СП ИОС

$$\sigma_3^* \approx W_{cn}^{ioc}(s) [\mu_3 \omega_x + i_3 (\delta' - \delta'_{3ог})], \quad (3.27)$$

$$\sigma_4^* \approx W_{cn}^{ioc}(s) [\mu_4 \omega_y + i_4 (\psi - \psi_{3ог})]. \quad (3.28)$$

Для перекрестной схемы -

при АП ИОС:

$$\sigma_3^* \approx W_{cn}^{ioc}(s) [\mu_3 \omega_x + i_3 (\delta' - \delta'_{3ог})], \quad (3.29)$$

$$\sigma_4^* \approx W_{ABY}(s) \beta, \quad (3.30)$$

где

$$\delta'_{3ог} = \frac{i_3^* \psi}{T_{\phi} s + 1} (\psi - \psi_{3ог}); \quad (3.31)$$

при СП СОС:

$$\sigma_3^* \approx W_{cn}^{coc}(s) [\mu_3^* \omega_x + i_3^* (\delta' - \delta'_{3ог})], \quad (3.32)$$

$$\sigma_4^* \approx W_{ABY}(s) \beta,$$

где

$$\delta'_{3ог} = \frac{i_3^* \psi}{T_{\phi} s + 1} (\psi - \psi_{3ог}); \quad (3.33)$$

при СП ИОС:

$$\sigma_3^* \approx W_{cn}^{ioc}(s) [\mu_3 \omega_x + i_3 (\delta' - \delta'_{3ог})], \quad (3.34)$$

$$\sigma_4^* \approx W_{ABY}(s) \beta,$$

где

$$\delta'_{3ог} = \frac{i_3^* \psi}{(T_{\phi} s + 1)(T_{\psi} s + 1)} (\psi - \psi_{3ог}). \quad (3.35)$$

Интегральные законы управления (3.23)-(3.24) отличаются от законов (3.21)-(3.22) только цепями прохождения сигнала $\delta'_{3ог}$.

Канал руля направления автопилота перекрестной схемы является либо демпфером рыскания, либо статическим или астатическим автоматом управления (АБУ).

Из всех трех вышеприведенных типов автопилотов стабилизации бокового движения наибольшее распространение получили автопилоты перекрестной схемы. Автопилоты прямой схемы используются лишь для решения специальных задач, связанных с плоским движением ЛА, когда ЛА жестко стабилизируется по крену (например, при аэрофотосъемке). Автопилоты смешанной схемы в настоящее время практически не разрабатываются.

Глава 4. ОБЩИЙ ПРИНЦИП СИНТЕЗА СТРУКТУРЫ АП

В основу решения всей совокупности вопросов, связанных с синтезом минимально-функциональной структуры (МФС) АП, положен принцип эквивалентности динамических систем с точностью до перед заданной малой величины (рис. 1).

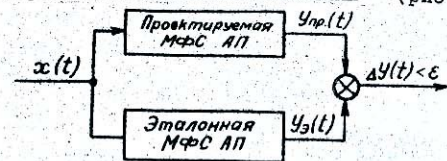


Рис. 1. К принципу эквивалентности динамических систем

На основании этого принципа при проектировании вводят эталонную минимально-функциональную структуру АП (ЭМФС АП), которая формально идентична структуре проектируемого АП, но ее параметры удовлетворяют требованиям технического задания по показателю качества.

Параметрическая оптимизация первичной МФС АП в общем случае может быть осуществлена численными или аналитическими методами.

В дальнейшем использованы аналитические методы, разработанные авторами на базе частотных методов, методов модального управления и доведенные до простых, проверенных на практике, расчетных формул и алгоритмов.

При стационарной линейной модели ЛА исследование движения системы "ЛА - АП" осуществляется путем анализа ее движения на ряде последовательных во времени "замороженных" режимов полета. Такой подход правомерен при изучении динамики подобных систем, так как в этом случае коэффициенты линеаризованной системы изменяются в течение времени регулирования по координате управления незначительно, а сама система обладает достаточным запасом устойчивости.

Качество работы АП оценивают на каждом режиме полета ЛА по переходной функции системы "ЛА - АП" $H(t)$. С этой целью задают время регулирования $t_{пер.зод}$, величину перерегулирования $\sigma_{зод} \%$, точность стабилизации $\pm \Delta_{зод}$.

Систему "ЛА - АП", переходная функция которой $H_3(t)$ удовлетворяет заданным требованиям, принимают за эталонную.

В первом приближении передаточные функции сервоприводов с различными связями можно представить следующим образом:

сервопривод с МОС*

$$W_{сн}^{мос}(s) \approx \frac{1}{(T_{ин}^2 s^2 + 2 \zeta_{ин} T_{ин} s + 1)} \quad (4.1)$$

сервопривод с СОС

$$W_{сн}^{сос}(s) \approx \frac{1}{s(T_c s + 1)} \quad (4.2)$$

сервопривод с ИОС

$$W_{сн}^{иос}(s) \approx \frac{T_n s + 1}{T_n s (T_n^2 s^2 + 2 \zeta_{ин} T_{ин} s + 1)} \quad (4.3)$$

причем, как правило, $\zeta_{ин}(n)$ и $\zeta_{ин}$ лежат в пределах $0,5 \leq \zeta_{ин} \leq 0,7$.

Если на рабочих частотах системы "ЛА - АП" частотная характеристика сервопривода будет иметь $L_m \leq 0,2$ дБ и фазовый сдвиг $\Delta \varphi \leq -15^\circ$, то динамикой звеньев сервопривода, стоящих в скобках, при расчете величин передаточных чисел можно пренебречь.

Следовательно, если выполняются соотношения

$$\Omega_{сн} \geq (8 \div 10) \Omega_{р.л.а} \quad (4.4)$$

* Коэффициенты усиления сервоприводов учитывают в величинах передаточных чисел АП.

где $\Omega_{сн} = \frac{1}{T_{сн}}$; $\Omega_{р.л.а}$ - максимальное значение собственной частоты возмущенного движения "свободного" ЛА для рассматриваемых режимов полета, то выражения для передаточных функций сервоприводов примут вид

$$W_{сн}^{мос}(s) \approx 1; \quad (4.5)$$

$$W_{сн}^{сос}(s) \approx \frac{1}{s}; \quad (4.6)$$

$$W_{сн}^{иос}(s) \approx \frac{T_n s + 1}{T_n s}. \quad (4.7)$$

Глава 5. ВЫВОД ФОРМУЛ ДЛЯ РАСЧЕТА ПЕРЕДАТОЧНЫХ ЧИСЕЛ АП

Вывод ЛА на заданную перегрузку и заданный угол тангажа осуществляется соответственно за время $t_{пер.уг} \approx T+2$ с и $t_{пер.в} = 3+5$ с, тогда как период колебаний длиннопериодического движения "свободного" ЛА составляет $T_y \approx 60+120$ с. Поэтому за время установления нового значения перегрузки и нового угла тангажа скорость полета практически измениться не успевает. Следовательно, расчет величин передаточных чисел АП_{уг} и АП_в допустимо проводить, используя только уравнения короткопериодического возмущенного движения, присоединяя к ним закон управления автопилота.

Автопилот стабилизации нормальной перегрузки

При расчете величин передаточных чисел АП_{уг}, если не оговорено в ТЗ, обычно принимают в качестве заданных параметров переходной функции $H_3(t)$ следующие значения:

$$t_{пер.зод} = 1+2 \text{ с}; \quad \sigma_{уг.зод} \leq 5\%; \quad \Delta_{уг} = \pm 0,05 \text{ г/с}^2.$$

Закон управления (3.11)

Структурная схема системы "ЛА - АП_{уг}" изображена на рис. 2.

Передаточная функция разомкнутой по единичной обратной связи системы, изображенной на рис. 2, на единичное управляющее возмущение имеет вид

$$W_{откр.уг.зод}(s) = \frac{\Lambda}{s(T_n^2 s^2 + 2 \zeta_{ин} T_{ин} s + 1)} \quad (5.1)$$

где

$$T_1 = \frac{T_\alpha}{\sqrt{1 + M_3 K_c + t_{ny} K_c C_6 g^{-1}}}; \quad (5.2)$$

$$K_1 = \frac{V_{ny} K_c C_6 g^{-1}}{1 + M_3 K_c + t_{ny} K_c C_6 g^{-1}}; \quad (5.3)$$

$$\xi_1 = \frac{2\delta_3 T_\alpha + M_3 K_c T_V}{2\sqrt{1 + M_3 K_c + t_{ny} K_c C_6 g^{-1}}}; \quad (5.4)$$

$$\left. \begin{aligned} T_\alpha &= \frac{1}{\omega_\alpha}; \\ \delta_3 &= \sqrt{C_3 C_4 + C_2}; \\ K_c &= \frac{C_3 C_4}{C_1 C_4 + C_2}; \\ T_V &= \frac{1}{C_4}; \\ \xi_3 &= \frac{C_1 + C_4 + C_5}{2\sqrt{C_3 C_4 + C_2}}. \end{aligned} \right\} \quad (5.5)$$

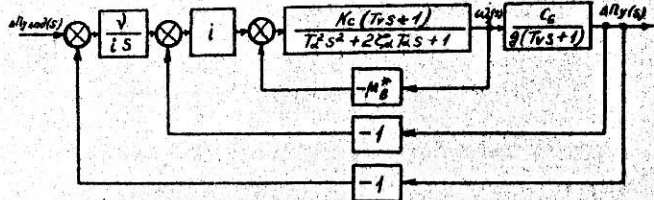


Рис. 2. Структурная схема системы "ЛА - АП_{ny}"

Передаточную функцию разомкнутой эталонной системы зададим в виде

$$W_3(s) = \frac{K_3}{s(T_3^2 s^2 + 2\xi_3 T_3 s + 1)}; \quad (5.6)$$

причем ЛАФЧХ этой эталонной системы изображена на рис. 3 и ее параметры удовлетворяют следующим соотношениям:

$$\omega_{c3} T_3 \approx 1; \quad \xi_3 = 1; \quad K_3 = \omega_{c3}; \quad \omega_{c3} t_{per, jог} \approx 3. \quad (5.7)$$

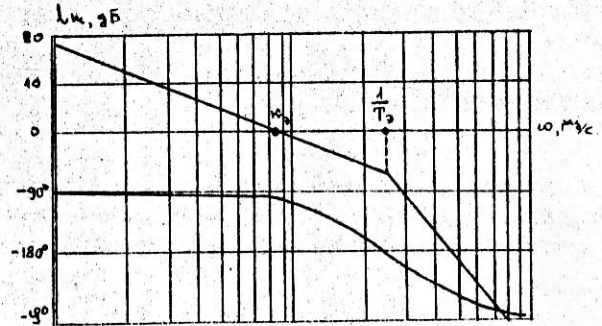


Рис. 3. ЛАФЧХ эталонной системы

Тогда, если $K_1 = K_3$, $T_1 = T_3$ и $\xi_1 = \xi_3$, совместное решение соотношений (5.2)–(5.7) приводит к следующим выражениям для расчета передаточных чисел проектируемого АП_{ny} с законом управления (3.11):

$$V_{ny} = \frac{432 T_\alpha g}{K_c C_6 t_{per, jог}^3} = \frac{432 g}{C_3 C_4 C_6 t_{per, jог}^3}; \quad (5.8)$$

$$t_{ny} = \frac{g(144 T_\alpha^2 - t_{per, jог}^2 - M_0 K_c t_{per, jог}^2)}{K_c C_6 t_{per, jог}^2} = \frac{144 - (C_3 C_4 + C_2) t_{per, jог}^2 - M_0 C_3 C_4 t_{per, jог}^2}{g^{-1} C_3 C_4 C_6 t_{per, jог}^2}; \quad (5.9)$$

$$M_0 = \frac{24 T_\alpha^2 - 2\xi_3 T_\alpha t_{per, jог} - 24 - (C_1 + C_4 - C_5)}{K_c T_V t_{per, jог}} = \frac{24 - (C_1 + C_4 - C_5)}{C_3 t_{per, jог}}. \quad (5.10)$$

Закон управления АП_{ny} (3.12)

Структурная схема системы "ЛА - АП_{ny}" для данного случая изображена на рис. 4.

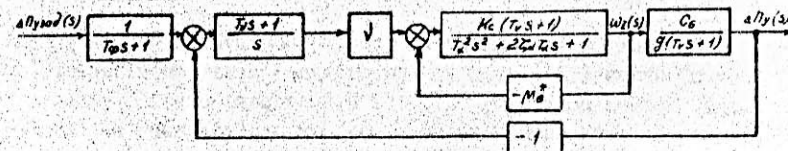


Рис. 4. Структурная схема системы "ЛА - АП_{ny}"

Нетрудно видеть, что передаточная функция разомкнутой по единичной обратной связи системы на единичное управляющее возмущение совпадает с передаточной функцией (5.1). Поэтому передаточные числа АП μ_{β} с законом управления (3.12) рассчитывают по формулам (5.8)–(5.10).

Автопилот угла тангажа

При расчете параметров АП μ_{β} , если в ТЗ не заданы требования к переходной функции системы "ЛА - АП" $H_{\beta}(t)$, обычно принимают в качестве заданных значений $H_{\beta}(t)$ следующие:

$$t_{пер \beta} = 3-5; \quad \sigma_{\beta} \leq 5\% \text{ } 2_{\beta} \text{ } \text{с}; \quad A_{2\beta} = \pm 0,05 \text{ } \text{с}^2 \text{ } \text{с}^2.$$

Автопилот угла тангажа с жесткой обратной связью

Статический закон управления (3.14)

Структурная схема системы "ЛА - АП μ_{β} " изображена на рис. 5.

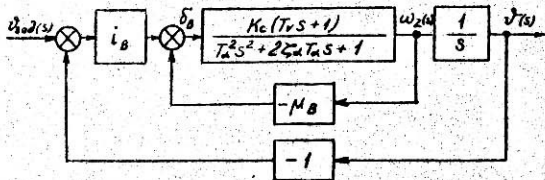


Рис. 5. Структурная схема системы "ЛА - АП μ_{β} , КОС"

Передаточная функция замкнутой по сигналу угла тангажа системы имеет вид

$$\Phi_{\beta}(s) = \frac{Kc(Tvs + 1)}{(A_0s^3 + A_1s^2 + A_2s + A_3)}, \quad (5.11)$$

где $T_v = \frac{1}{C_4}$; $A_0 = T_{\alpha}^2$; $A_1 = 2\xi_{\alpha}T_{\alpha} + \mu_{\beta}KcT_v$;

$$A_2 = 1 + \mu_{\beta}Kc + L_{\beta}KcT_v, \quad A_3 = L_{\beta}Kc.$$

Функция (5.11) является передаточной функцией с "неуправляемым" нулем ($\lambda = -C_4$) и не обладает астатизмом первого порядка, причем всегда $T_v > T_{\alpha}$. Нуль передаточной функции (5.11) является ненаблюдаемым, поэтому его величина на конкретном режиме полета неизвестна и не может быть измерена. Как пра-

вило, постоянная времени времени T_v в зависимости от режима полета самолета изменяется около 10 раз. Поэтому скомпенсировать влияние нуля на переходную функцию практически не удастся, и задают такую эталонную систему, передаточная функция которой для замкнутого контура управления при единичном управляющем возмущении имеет вид

$$\Phi_{\beta}^*(s) = \frac{K_3(Tvs + 1)}{(A_{03}s^3 + A_{13}s^2 + A_{23}s + K_3)}, \quad (5.12)$$

Передаточная функция разомкнутой эталонной системы в соответствии с (5.12) записывается как

$$W_{\beta}^*(s) = \frac{K_3(Tvs + 1)}{s(A_{03}s^2 + A_{13}s^2 + A_{23}')} , \quad (5.13)$$

причем всегда

$$\left| \sqrt{\frac{A_{23}'}{A_{03}}} \right| > \frac{1}{T_v},$$

где

$$A_{23}' = A_{23} - K_3T_v.$$

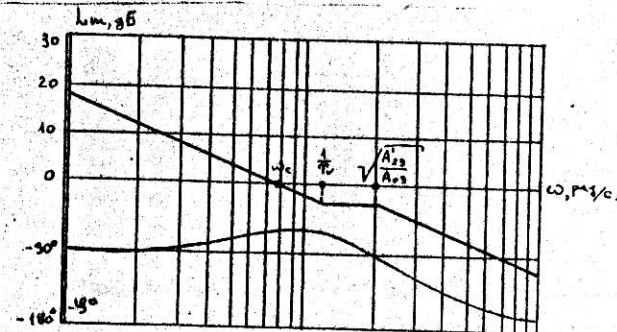


Рис. 6. ЛАФЧХ эталонной системы

ЛАФЧХ разомкнутой эталонной системы изображена на рис. 6, и для ЛАФЧХ выдерживается

$$\frac{K_3}{A_{23}'} = (0,9 \div 1) \frac{1}{T_v} \quad (5.14)$$

и

$$\frac{A_{13}}{2\sqrt{A_{03}A_{23}'}} = 1. \quad (5.15)$$

Выражение (5.15) соответствует условию, при котором относительный коэффициент затухания колебательного звена передаточной функции (5.13) равен единице.

Передаточная функция разомкнутой проектируемой системы "ЛА - АП" после замыкания контура управления по цепи сигнала ω_2 (см. рис. 5) представляется как

$$W_{\omega_2}^{(s)} = \frac{i_B K_c (T_V s + 1)}{[T_\alpha^2 s^2 + (2\zeta_\alpha T_\alpha + \mu_B K_c T_V) s + 1 + \mu_B K_c]}$$

Таким образом, из условия $A_{i3} \triangleq A_{i30}$ получим, что

$$\left. \begin{aligned} K_3 &= i_B \cdot K_c; \\ A_{03} &= T_\alpha^2; \\ A_{13} &= 2\zeta_\alpha T_\alpha + \mu_B K_c T_V; \\ A_{23} &= 1 + \mu_B K_c \end{aligned} \right\} \quad (5.16)$$

Тогда по соотношениям (5.14)-(5.15) с учетом (5.16)

$$\left. \begin{aligned} i_B &= \frac{0,9 \div 1}{K_c' \cdot T_V}, \\ \mu_B &= -\frac{\alpha}{2} + \sqrt{\frac{\alpha^2}{4} - \beta}, \end{aligned} \right\} \quad (5.17)$$

где

$$\left. \begin{aligned} K_c' &= \frac{K_c}{1 + \mu_B K_c}, \\ \alpha &= \frac{4T_\alpha (\zeta_\alpha T_V - T_\alpha)}{K_c T_V^2}, \\ \beta &= \frac{4T_\alpha^2 (\zeta_\alpha - 1)}{K_c^2 T_V^2}. \end{aligned} \right\} \quad (5.18)$$

Принимая во внимание (5.5), окончательно запишем

$$i_B = \frac{(0,9 \div 1) (C_1 C_4 + C_2 + \mu_B C_3 C_4)}{C_3}, \quad (5.19)$$

$$\mu_B = -\frac{\alpha'}{2} + \sqrt{\frac{(\alpha')^2}{4} - \beta'}, \quad (5.20)$$

где

$$\alpha' = \frac{2(C_1 + C_5 - C_4)}{C_3}, \quad \beta' = \frac{(C_1 + C_4 + C_5)^2 - 4(C_1 C_4 + C_2)}{C_3^2}.$$

Автопилот угла тангажа с ЖОС /астигматический закон управления (3.15)/

Величину передаточного числа μ_B определяют, как для АП₂ ЖОС со статическим законом управления (3.14).

Передаточная функция замкнутой системы "ЛА - АП", соответствующая структурной схеме (рис. 7), записывается как

$$\Phi_{\omega_2}^{(s)} = \frac{\nu_B C_3 C_4 (T_V s + 1)(T_V s + 1)}{(A_0 s^4 + A_1 s^3 + A_2 s^2 + A_3 s + A_4)},$$

где $T_V = \frac{i_B}{\nu_B}$, $A_0 = 1$; $A_1 = C_1 + C_4 + C_5 + \mu_B C_3$; $A_2 = C_1 C_4 + C_2 + \mu_B C_3 C_4 + i_B C_3$; $A_3 = i_B C_3 C_4 + \nu_B C_3$; $A_4 = \nu_B C_3 C_4$.

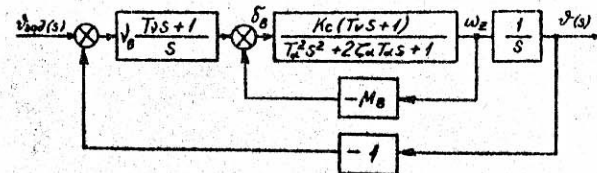


Рис. 7. Структурная схема системы "ЛА - АП₂ ЖОС" (астигматический закон управления)

Эта передаточная функция обладает двумя "нулями", один из которых является неуправляемым ($\lambda = -1/T_V$), неидентифицируемым и некомпенсируемым в полете. Поэтому зададим передаточную функцию эталонной системы в виде

$$\Phi_3^{(s)} = \frac{K_3 (T_V s + 1)(T_V s + 1)}{(A_{03} s^4 + A_{13} s^3 + A_{23} s^2 + A_{33} s + A_{43})}, \quad (5.21)$$

причем $K_3 = A_{43}$.

Передаточная функция эталонной разомкнутой системы в соответствии с (5.21) представляется как

$$W_{\omega_2}^{(s)} = \frac{\nu K_c' (T_V s + 1)(T_V s + 1)}{s^2 [(T_\alpha')^2 s^2 + 2\zeta_\alpha' T_\alpha' s + 1]}.$$

где $A_{23}' = A_{23} - K_3 T_V T_\alpha$,

ЛАФ'ЖК разомкнутой эталонной системы изображены на рис. 8, причем, если $T \sqrt{A_{23}'} < 10$, то первый излом ЛАФЖ эталонной

системы определяется частотой, равной $\frac{1}{T_3}$; при $T_V |\sqrt{A_{23}}| \geq 10$ этот излом определяется частотой, равной $\frac{1}{T_V}$. Для ЛАЧХ эталонной системы выдерживаются следующие соотношения:

при $T_V |\sqrt{A_{23}}| < 10$

$$\omega_K^2 = \frac{\omega_c}{T_3}; \quad (5.22)$$

при $T_V |\sqrt{A_{23}}| \geq 10$

$$2\omega_c T_3 \leq 1; \quad (5.23)$$

$$T_3 \cdot \omega_K^2 = \omega_c;$$

$$T_V \approx 10T_3;$$

$$\omega_c \cdot t_{пер} \approx 2,5.$$

Для обоих случаев справедливо

$$\omega_K^2 = \kappa_3 \quad (5.24)$$

и

$$\frac{A_{13}}{2\sqrt{A_{23}}} = 1. \quad (5.25)$$

Выражение (5.25) соответствует условию (5.15).

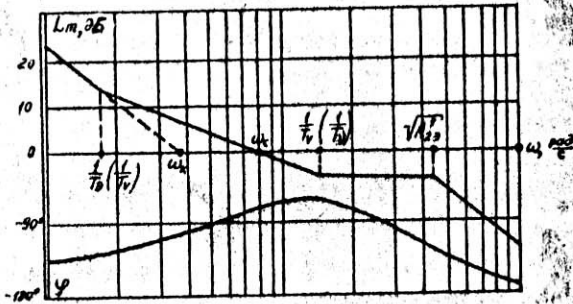


Рис. 8. ЛАФЧХ эталонной системы

Передаточная функция разомкнутой проектируемой системы "ЛА - АП" после замыкания контура управления по цепи сигнала ω_2 в соответствии с рис. 7 записывается как

$$W_{12}^{(s)} = \frac{\sqrt{\kappa_c} (T_V s + 1)(T_V s + 1)}{s^2 [(T_\alpha')^2 s^2 + 2\zeta_\alpha' T_\alpha' s + 1]}. \quad (5.26)$$

Тогда из условия $A_{13} \triangleq A_{1c}$ по получаем

$$\left. \begin{aligned} \kappa_3 &= \nu_B \kappa_c' A_{23}'; \\ A_{03} &= A_{23}' (T_\alpha')^2; \\ A_{13} &= 2\zeta_\alpha' T_\alpha' A_{23}', \end{aligned} \right\} \quad (5.27)$$

причем

$$\left. \begin{aligned} \kappa_c' &= \frac{\kappa_c}{1 + \mu_B \kappa_c}; \\ T_\alpha' &= \frac{T_\alpha}{\sqrt{1 + \mu_B \kappa_c}}; \\ \zeta_\alpha' &= \frac{2\zeta_\alpha T_\alpha + \mu_B \kappa_c' T_V}{2T_\alpha}. \end{aligned} \right\} \quad (5.28)$$

Из совместного решения (5.22)–(5.23) с учетом (5.26)–(5.28) окончательно получаем

$$\text{при } T_V < 10T_\alpha' \quad i_B = \frac{0,9 \div 1}{\kappa_c' T_V}, \quad \nu_B = \frac{0,09 \div 0,1}{\kappa_c' T_V^2} \quad \text{или}$$

$$\nu_B = \frac{i_B}{10T_V};$$

$$\text{при } T_V \geq 10T_\alpha' \quad i_B = \frac{0,5}{\kappa_c' T_V}; \quad \nu_B = \frac{5}{\kappa_c' T_V} \quad \text{или } \nu_B = \frac{10i_B}{T_V}.$$

Величина передаточного числа $\Delta\Pi_{\omega}$ по сигналу угловой скорости рассчитывается по выражению (5.20).

Автопилот угла тангажа со скоростной обратной связью (АП₂ СОС)

Структурная схема системы "ЛА - АП₂ СОС" изображена на рис. 9.

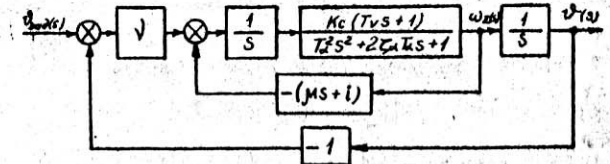


Рис. 9. Структурная схема системы "ЛА - АП₂ СОС"

Передаточная функция замкнутой системы "ЛА - АП₂ СОС" имеет

вид

$$\Phi_{12}^{(s)} = \frac{\nu_C \kappa_c (T_V s + 1)}{(A_0 s^4 + A_1 s^3 + A_2 s^2 + A_3 s + A_4)}, \quad (5.29)$$

где $A_0 = 1$, $A_1 = C_1 + C_4 + C_5 + \mu_B C_3$, $A_2 = C_1 C_4 + C_2 + \mu_B C_3 C_4 + C_3 C_5$, $A_3 = C_3 C_4 + \nu_B C_3$, $A_4 = \nu_B C_3 C_4$.

Эта передаточная функция, как и в рассмотренных выше случаях, обладает одним неуправляемым нулем ($\lambda = -\frac{1}{T}$), который в полете неидентифицируем, и его влияние введением фильтров низких частот в цепь сигнала $\mathcal{U}_{зад}(t)$ некомпенсируемо. Поэтому, как и прежде, зададим передаточную функцию эталонной системы в виде

$$\Phi_3(s) = \frac{K_3 (T_V s + 1)}{A_{03} s^3 + A_{13} s^2 + A_{23} s + A_{33}}, \quad (5.30)$$

где $K_3 = A_{43}$.

Передаточная функция разомкнутой по единичной обратной связи эталонной системы на единичное управляющее воздействие с учетом выражения (5.30) записывается как

$$W_3(s) = \frac{K_3 (T_V s + 1)}{s(A_{03} s^3 + A_{13} s^2 + A_{23} s + A_{33})}, \quad (5.31)$$

где $A'_{33} = A_3 - K_3 T_V$.

Запишем передаточную функцию (5.31) в виде

$$W_3(s) = \frac{K'_3 (T_V s + 1)}{s(A'_{03} s^3 + A'_{13} s^2 + A'_{23} s + 1)}, \quad (5.32)$$

где $K'_3 = \frac{K_3}{A'_{33}}$, $A'_{03} = \frac{A_{03}}{A'_{33}}$, $A'_{13} = \frac{A_{13}}{A'_{33}}$ и $A'_{23} = \frac{A_{23}}{A'_{33}}$.

Поскольку характеристический полином (стоящий в скобках) передаточной функции (5.32) — третьего порядка, положим, что малым по абсолютной величине корнем характеристического уравнения $A'_{03} \lambda^3 + A'_{13} \lambda^2 + A'_{23} \lambda + 1 = 0$ является вещественный корень λ_{13} ,

равный $\lambda_{13} \approx -\frac{1}{A'_{23}}$, т.е. $\lambda_{13} \approx \frac{A'_{33}}{A'_{23}}$.

В этом случае передаточная функция (5.32) представлена как

$$W_3(s) = \frac{K'_3 (T_V s + 1)}{s(T_{13} s + 1)(T_{23}^2 s^2 + 2\zeta_{23} T_{23} s + 1)}. \quad (5.33)$$

Здесь $T_{13} = \frac{1}{\lambda_{13}}$; $K'_3 = \frac{K_3 \cdot T_{23}^2}{|\lambda_{13}|}$;

$$T_{23}^2 = A'_{03} \cdot |A_{13}| = \frac{|\lambda_{13}|}{A'_{33}};$$

$$\zeta_{23} = \frac{A'_{13} - T_{23}^2}{2T_{13} T_{23}} = \frac{A'_{13} - A'_{03} |\lambda_{13}|}{2\sqrt{A'_{03}} |\lambda_{13}|}.$$

ЛАФЧ разомкнутой эталонной системы, согласно (5.33), изображена на рис. 10, причем для нее справедливы следующие соотношения:

$$T_{13} = (1,2 \div 1,4) T_V, \quad (5.34)$$

$$\zeta_{23} = 0,7, \quad (5.35)$$

$$K'_3 = (1,2 \div 1,4) \omega_c \quad \text{— для случая А,}$$

$$K'_3 = \omega_c \quad \text{— для случая В.} \quad (5.35')$$

Ввиду малой протяженности первого участка ЛАФЧ с наклоном

-40 dB/дек ($\approx 0,12$ декады) случай А (рис. 10) практически соответствует случаю В.

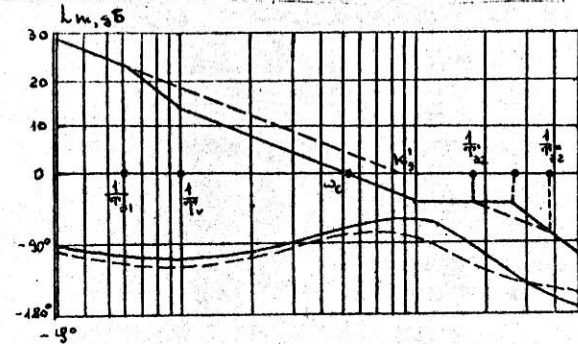


Рис. 10. ЛАФЧ эталонной системы.

Поскольку протяженность участка ЛАФЧ с наклоном -20 dB/дек достаточно большая (без учета первого участка ЛАФЧ с наклоном -40 dB/дек), то время регулирования эталонной системы определяется следующим выражением:

$$t_{пер} \approx \frac{3}{\omega_c}. \quad (5.36)$$

Для вывода расчетных формул разождем передаточную функцию проектируемой системы (5.29) по единичной обратной связи (рис. 9), т.е. по цепи сигнала угла тангажа

$$\frac{W_{\text{пер}}(s)}{i_{\text{ог}}} = \frac{K_y(Ts+1)}{s(A_0's^3 + A_1's^2 + A_2's + 1)},$$

где

$$K_y = \frac{y_{\text{ог}}}{i_{\text{ог}}}, \quad (5.37)$$

$$A_0' = \frac{A_0}{A_3} = \frac{(T_{\alpha}')^2}{i_{\text{ог}} K_c'} = \frac{1}{i_{\text{ог}} C_3 C_4},$$

$$A_1' = \frac{A_1}{A_3} = \frac{2\sigma_{\alpha}' T_{\alpha}'}{i_{\text{ог}} K_c'} = \frac{C_1 + C_4 + C_5 + M_B C_3}{i_{\text{ог}} C_3 C_4},$$

$$A_2' = \frac{A_2}{A_3} = \frac{1 + K_c' T_V}{i_{\text{ог}} K_c'} = \frac{C_1 C_4 + C_2 + M_B C_3 C_4 + i_{\text{ог}} C_3}{i_{\text{ог}} C_3 C_4};$$

здесь $K_c' = \frac{C_3 C_4}{C_1 C_4 + C_2 + M_B C_3 C_4}$; $T_{\alpha}' = \frac{1}{\sqrt{C_1 C_4 + C_2 + M_B C_3 C_4}}$;

$$\sigma_{\alpha}' = \frac{C_1 + C_4 + C_5 + M_B C_3}{2\sqrt{C_1 C_4 + C_2 + M_B C_3 C_4}}.$$

Поскольку, как правило, $M_B C_3 C_4 \ll i_{\text{ог}} C_3$, то в первом приближении допустимо представить коэффициент A_2' как

$$A_2' \approx \frac{C_1 C_4 + C_2 + i_{\text{ог}} C_3}{i_{\text{ог}} C_3 C_4} = \frac{1 + i_{\text{ог}} K_c T_V}{i_{\text{ог}} K_c}, \quad (5.38)$$

где K_c - см. в (5.5).

Тогда из условия $A_0' \triangleq A_{\text{огр}}$ и $K_3' \triangleq K_y$ получаем

$$K_3 = K_y = \frac{i_{\text{ог}}}{M_B},$$

$$|\lambda_{13}| = \frac{i_{\text{ог}} K_c}{1 + i_{\text{ог}} K_c T_V}, \quad (5.39)$$

$$\zeta_{23} = \frac{2\sigma_{\alpha}' T_{\alpha}' - (T_{\alpha}')^2 |\lambda_{13}|}{2\sqrt{i_{\text{ог}} C_3 C_4} |\lambda_{13}|}; \quad (5.40)$$

Из совместного решения (5.34), (5.35) и (5.39) получаем

$$i_{\text{ог}} = \frac{2,5 + 50}{K_c T_V}$$

или

$$i_{\text{ог}} = (2,5 + 50) \frac{C_1 C_4 + C_2}{C_3}. \quad (5.41)$$

Из решения (5.35) и (5.40)

$$M_B = \frac{(0,7 + 0,83)C_4 + (1,7 + 1,6)\sqrt{i_{\text{ог}} C_3} - (C_1 + C_4 + C_5)}{C_3},$$

где $i_{\text{ог}}$ определяется выражением (5.41), а цифры в скобках соответствуют: первые $|\lambda_{13}| = 1/1,4 T_V$, вторые $|\lambda_{13}| = 1/1,2 T_V$.

Из совместного решения (5.35) или (5.35'), (5.36), (5.37) и (5.38) имеем: для случая А $\nu = \frac{3,6 + 4,2}{t_{\text{пер}}} \cdot i_{\text{ог}}$, для случая В

$$\nu = \frac{3}{t_{\text{пер}}} \cdot i_{\text{ог}}.$$

Автопилот угла тангажа с изодромной обратной связью (АП_У ИОС)

Структурная схема системы "ЛА - АП_У ИОС" изображена на рис. II.

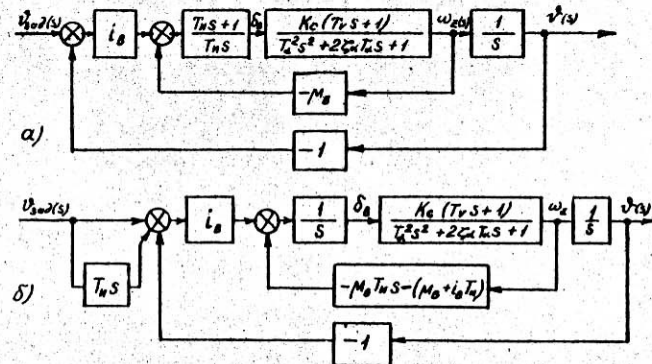


Рис. II. Структурная схема системы "ЛА - АП_У ИОС"

Передаточная функция замкнутой системы "ЛА - АП_У ИОС" на единичное управляющее воздействие имеет вид

$$\frac{\varphi_{\text{ог}}(s)}{i_{\text{ог}}} = \frac{i_{\text{ог}} C_3 C_4 (T_V s + 1)(T s + 1)}{A_0 s^4 + A_1 s^3 + A_2 s^2 + A_3 s + A_4}, \quad (5.42)$$

где $A_0 = T'_H$; $A_1 = T_H (c_1 + c_4 + c_5 + \mu_B c_3)$;
 $A_2 = T_H (c_1 c_4 + c_2) + T_H (\mu_B c_3 c_4 + i_B c_3) + \mu_B c_3$;
 $A_3 = \mu_B c_3 c_4 + T_H i_B c_3 c_4 + i_B c_3$; $A_4 = i_B c_3 c_4$.

Передаточная функция (5.42) имеет один неуравновешиваемый нуль ($\lambda = -\frac{1}{T'_V}$), который в полете неидентифицируем и поэтому его влияние некомпенсируемо. Вследствие этого зададим передаточную функцию эталонной системы в виде

$$\Phi_3(s) = \frac{K_3 (T_V s + 1) (T_H s + 1)}{A_{03} s^4 + A_{13} s^3 + A_{23} s^2 + A_{33} s + A_{43}}$$

где $K_3 = A_{43}$.
 Передаточная функция разомкнутой по цепи сигнала угла тангажа (по единичной обратной связи) эталонной системы записывается следующим образом:

$$W_3(s) = \frac{K_3 (T_V s + 1) (T_H s + 1)}{s(A_{03} s^3 + A_{13} s^2 + A_{23} s + A_{33})}, \quad (5.43)$$

где $A'_{33} = A_{33} - K_3 T_V$, $A_{03} = 1$.
 Поскольку в знаменателе выражения (5.43) входит полином 3-го порядка, передаточная функция $W_3(s)$ может быть представлена как

$$W_3(s) = \frac{K_3 (T_V s + 1) (T_H s + 1)}{s(s + |\lambda_{13}|)(s^2 + b_1 s + b_2)}, \quad (5.44)$$

где λ_{13} - малый по абсолютной величине корень характеристического уравнения вида

$$\lambda^3 + A_{13} \lambda^2 + A_{23} \lambda + A_{33} = 0,$$

причем $\lambda_{13} = -\frac{A_{33}}{A_{23}}$, $b_1 = A_{13} - |\lambda_{13}|$, $b_2 = \frac{A'_{33}}{|\lambda_{13}|}$,

$$A_{23} = b_1 |\lambda_{13}| + b_2. \quad (5.45)$$

Вводя обозначения $T_{13} = \frac{1}{|\lambda_{13}|}$, $T_{23}^2 = \frac{1}{b_2}$, $2\xi_{23} T_{23} = \frac{b_1}{b_2}$,
 запишем передаточную функцию (5.44) в виде

$$W_3(s) = \frac{K'_3 (T_V s + 1) (T_H s + 1)}{s(T_{13} s + 1)(T_{23}^2 s^2 + 2\xi_{23} T_{23} s + 1)}, \quad (5.46)$$

где $K'_3 = K_3 \cdot T_{13} \cdot T_{23}^2$.

ЛАФЧХ разомкнутой эталонной системы, согласно (5.46), изображены на рис. 12, причем для ЛАЧХ справедливы следующие соотношения:

$$|\lambda_{13}| = (0,6 \div 0,8) \frac{1}{T_V} \quad \text{при } T_V > T'_H, \quad (5.47)$$

$$|\lambda_{13}| = (0,6 \div 0,8) \frac{1}{T'_H} \quad \text{при } T'_H > T_V, \quad (5.48)$$

$$K'_3 = \omega_y, \quad (5.49)$$

$$\omega_y = (1,67 \div 1,25) \omega_c. \quad (5.50)$$

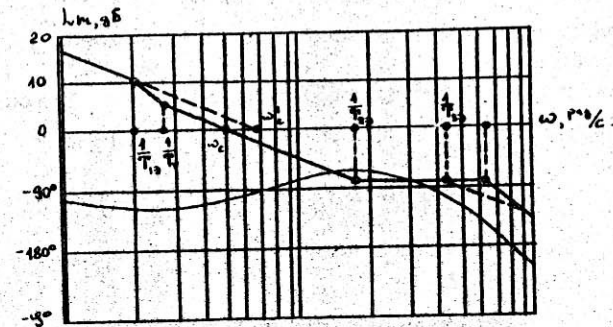


Рис. 12. ЛАФЧХ эталонной системы

Учитывая малую протяженность первого участка ЛАЧХ с наклоном -40 dB/dec , можно принять

$$t_{per} \approx \frac{2}{\omega_c}. \quad (5.51)$$

Передаточная функция проектируемой системы, разомкнутой по единичной обратной связи (рис. II), записывается следующим образом:

$$W_{II}(s) = \frac{K (T_V s + 1) (T_H s + 1)}{s(A'_0 s^3 + A'_1 s^2 + A'_2 + 1)},$$

где

$$\left. \begin{aligned} K &= \frac{i_0}{\mu_B}, \\ A'_0 &= \frac{A_0}{A'_3} = \frac{T_H}{\mu_B c_3 c_4}, \\ A'_1 &= \frac{A_1}{A'_3} = \frac{T_H (c_1 + c_4 + c_5 + \mu_B c_3)}{\mu_B c_3 c_4}, \\ A'_2 &= \frac{A_2}{A'_3} = \frac{T_H (c_1 c_4 + c_2 + \mu_B c_3 c_4) + \mu_B c_3}{\mu_B c_3 c_4}, \\ A'_3 &= \mu_B c_3 c_4. \end{aligned} \right\} (5.52)$$

Формулы для расчета величин передаточных чисел АП_у ИОС получим из условия $A_{i_3} \triangleq A_{i_{пр}}$. Решая совместно (5.45), (5.47) или (5.48) и (5.52), получим выражения для расчета величины передаточного числа μ_B :

при $T_V > (1,67 \div 1,25) T_H$

$$\mu_B = (1,5 \div 4,0) \frac{T_H [c_1 c_4 + c_2 + (0,36 \div 0,64) K_2 - (0,6 \div 0,8) K_2 (c_1 + c_3 + c_4)]}{c_3 [1 - (1,67 \div 1,25) c_4 T_H]}$$

при $T_H > (0,6 \div 0,8) T_V$

$$\mu_B = (1,5 \div 4) \frac{T_H^2 (c_1 c_4 + c_2) + (0,36 \div 0,64) T_H (0,6 \div 0,8) (c_1 + c_4 + c_5)}{c_3 T_H [c_4 T_H - (0,6 \div 0,8)]}$$

Из совместного решения (5.49), (5.50), (5.51) и (5.52) получаем

$$i_0 = \frac{3,3 + 2,5}{t_{рег}} \mu_B$$

Обычно требуемая величина $t_{рег.у} \approx 3 \div 4$ с, тогда $i_0 \approx (0,8 \div 1) \mu_B$.

Автопилот крена (АП_к)

Для горизонтальных режимов полета ЛА и режимов полета, близких к ним, условие (2.2) выполняется, поэтому допустимость автономного расчета величин передаточных чисел АП_к от расчета параметров АП_у для автопилотов прямой схемы очевидна. Более того, опыт расчетов и моделирования автопилотов перекрестной схемы показывает, что за время установления заданного угла крена движение ЛА по углам курса и скольжения не успевает существенно развиться. Вследствие этого и для системы "ЛА - АП перекрестной схемы" при расчете параметров АП_к допустимо использовать только

уравнение бокового движения ЛА по крену, присоединяя к нему закон управления АП. Аналогично можно поступить и для системы с автопилотом смешанной схемы. Поэтому методика вывода формул для расчета передаточных чисел АП_к для горизонтальных режимов полета и сами формулы одинаковы для любого типа АП.

При расчете передаточных чисел АП_к независимо от типа обратной связи сервопривода АП_к принимают, что $t_{рег.к} \approx 1 \div 2$ с, $\delta_{к} \leq 0,05 \text{ рад}$ и $\Delta_{к} = \pm 0,05 \text{ рад}$.

Автопилот крена с жесткой обратной связью

Закон управления АП_к (3.19)

Передаточная функция замкнутой системы "ЛА - АП_к" на управляющее возмущение имеет вид

$$\Phi_{к}(s) = \frac{i_0 b_3}{s^2 + (b_1 + \Omega_0 b_3) s + i_0 b_3}$$

Эта передаточная функция не имеет "нулей". Поэтому в качестве эталонной примем систему третьего порядка с кратными корнями характеристического уравнения системы $\det |A - I \lambda| = 0$:

$$W_3(s) = \frac{K_3}{(s + \lambda_3)^2}$$

т.е.

$$W_3(s) = \frac{K_3}{s^2 + 2\lambda_3 s + \lambda_3^2}, \quad K_3 = \lambda_3^2. \quad (5.53)$$

Вводя безразмерную переменную $S_{кк}$ по соотношению $S_{кк} = \frac{s}{\Omega_0}$, представим передаточные функции (5.53) и (5.24) в форме Выхеградского $\Phi_3(S_{кк}) = \frac{1}{S_{кк}^2 + 2S_{кк} + 1}$, $\Omega_0 = \lambda_3$

$$\text{и } \Phi_{к}(S_{кк}) = \frac{1}{S_{кк}^2 + \frac{b_1 + \mu_B b_3}{\sqrt{i_0} b_3} S_{кк} + 1}, \quad \Omega_0 = \sqrt{i_0} b_3.$$

Полагая, что $\lambda_3^2 = \Omega_0^2 \triangleq i_0 b_3$ и $\frac{b_1 + \mu_B b_3}{i_0 b_3} = 2$, получаем $\mu_B = \frac{2\Omega_0 - b_1}{b_3}$, $i_0 = \frac{\Omega_0^2}{b_3}$.

Время регулирования для эталонной системы второго порядка (корни системы кратные) $t_{рег.к} = \frac{4,74}{\Omega_0}$. Тогда окончательно получаем $\mu_B = \frac{9,48 - b_1 t_{рег.к}}{b_3 t_{рег.к}}$, $i_0 = \frac{22,5}{b_3 t_{рег.к}^2}$.

Закон управления АП (3.23)

Передаточная функция замкнутой системы "ЛА - АП_γ" на управляющее возмущение имеет вид

$$\frac{\Phi_{\gamma}}{f_{\text{воз}}} (s) = \frac{\nu b_3}{s^3 + (b_1 + \mu_3 b_3) s^2 + i_3 b_3 s + \nu_3 b_3} \quad (5.54)$$

В качестве эталонной примем систему третьего порядка с кратными корнями характеристического уравнения системы $\det |A - \lambda I| = 0$:

$$W_3(s) = \frac{1}{s} \frac{1}{(s + \lambda_3)^3},$$

т.е.

$$W_3(s) = \frac{K_3}{s^3 + 3\lambda_3 s^2 + 3\lambda_3^2 s + \lambda_3^3}, \quad K_3 = \lambda_3^2. \quad (5.55)$$

В форме Вышнеградского передаточные функции (5.54) и (5.55) записываются как

$$\Phi_3(s_{\text{xc}}) = \frac{1}{(s_{\text{xc}}^3 + 3s_{\text{xc}}^2 + 3s_{\text{xc}} + 1)}, \quad \omega_0 = \lambda_3^3$$

и

$$\frac{\Phi_{\gamma}}{f_{\text{воз}}} (s) = \frac{1}{(s_{\text{xc}}^3 + \frac{b_1 + \mu_3 b_3}{\omega_0} s_{\text{xc}}^2 + \frac{i_3 b_3}{\omega_0^2} s_{\text{xc}} + \frac{\nu_3 b_3}{\omega_0^3})}$$

где

$$\omega_0^3 = i_3 b_3, \quad \text{Полагая, что } \lambda_3^3 = \omega_0^3 \frac{4}{\nu_3 b_3}, \quad \frac{b_1 + \mu_3 b_3}{\omega_0} = 3 \text{ и } \frac{i_3 b_3}{\omega_0^2} = 3,$$

$$\text{получаем, что } \mu_3 = \frac{3\omega_0 - b_1}{b_3}, \quad i_3 = \frac{3\omega_0}{b_3}, \quad \nu = \frac{\omega_0^3}{b_3}.$$

Учитывая, что для рассматриваемого случая $\omega_0 = \frac{6}{t_{\text{пер}}}$, окончательно получим

$$\mu_3 = \frac{18 - b_1 \cdot t_{\text{пер}}}{b_3}, \quad (5.56)$$

$$i_3 = \frac{108}{b_3 t_{\text{пер}}^2}, \quad (5.57)$$

$$\nu = \frac{216}{b_3 t_{\text{пер}}^3}. \quad (5.58)$$

Закон управления АП_γ (3.21)

При этом законе управления АП_γ передаточная функция замкнутой системы "ЛА - АП_γ" на управляющее возмущение имеет вид

$$\frac{\Phi_{\gamma}}{f_{\text{воз}}} (s) = \frac{\nu_3 b_3 (T_1 s + 1)}{s^3 + (b_1 + \mu_3 b_3) s^2 + i_3 b_3 s + \nu_3 b_3}, \quad (5.59)$$

$$\text{где } T_1 = \frac{i_3}{\nu_3}.$$

$$(5.60)$$

Передаточная функция (5.59) имеет нуль, но поскольку система обладает астатизмом первого порядка, можно задать эталонную систему, корни характеристического уравнения которой $\det |A - \lambda I| = 0$ расположены на вещественной отрицательной полуоси по арифметической прогрессии. Однако в такой системе перерегулирование по координате управления достигает $\sigma_{\gamma} \approx 0,1 f_{\text{воз}}$, что существенно больше заданного в ТЗ ($\sigma_{\gamma} \leq 0,05 f_{\text{воз}}$). Поэтому в данном случае разумно поступить следующим образом. В цепь передачи сигнала $f_{\text{воз}}$ в АП_γ включить фильтр нижних частот с передаточной функцией вида $W_{\text{ФНЧ}}(s) = \frac{1}{T_1 s + 1}$, который компенсирует влияние нуля передаточной функции (5.59) на переходную функцию системы. В этом случае передаточная функция замкнутой системы на единичное управляющее возмущение совпадает с передаточной функцией (5.54). Поэтому формулы для расчета передаточных чисел АП соответствуют формулам (5.56)–(5.58). После расчета величин передаточных чисел АП_γ определяют по выражению (5.60) величину постоянной времени фильтра низких частот в цепи сигнала $f_{\text{воз}}$.

Автопилот крена со скоростной обратной связью (3.25)

Передаточная функция замкнутой системы "ЛА - АП_γ СОС" для рассматриваемого случая имеет вид

$$\frac{\Phi_{\gamma}}{f_{\text{воз}}} (s) = \frac{\nu_3^* b_3}{s^3 + (b_1 + \mu_3^* b_3) s^2 + i_3^* b_3 s + \nu_3^* b_3}.$$

Данная передаточная функция совпадает с передаточной функцией (5.54). Поэтому выражения для расчета величин передаточных чисел АП_γ СОС имеют вид

$$\mu_3^* = \frac{18 - b_1 \cdot t_{\text{пер}}}{b_3 t_{\text{пер}}}, \quad i_3^* = \frac{108}{b_3 t_{\text{пер}}^2}, \quad \nu_3^* = \frac{216}{b_3 t_{\text{пер}}^3}.$$

Автопилот крена с изопромной обратной связью АП_γ ИОС (3.27)

Структурная схема системы "ЛА - АП_γ ИОС" изображена на рис. 13. Величина T_{γ} априорно известна.

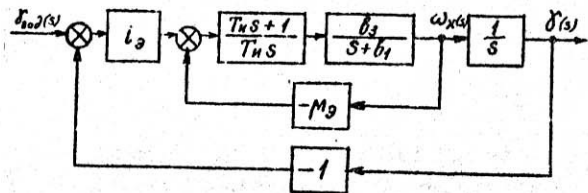


Рис. 13. Структурная схема системы "ЛА - АП₁ ИОС"

Передаточная функция замкнутой системы "ЛА - АП₁ ИОС" для рассматриваемого случая записывается как

$$\frac{\delta(s)}{i_{20}(s)} = \frac{i_2 b_3 (T_n s + 1)}{T_n s^3 + (b_1 T_n + \mu_3 b_3 T_n) s^2 + (\mu_3 b_3 + i_2 b_3 T_n) s + i_2 b_3} \quad (5.61)$$

Передаточная функция (5.61) имеет один неуправляемый нуль ($s = \frac{1}{T_n}$) и не обладает астатизмом первого порядка.

Вследствие этого зададим эталонную систему также с одним неуправляемым нулем и не обладающей астатизмом первого порядка:

$$W_3(s) = \frac{K_3 (T_3 s + 1)}{A_{03} s^3 + A_{13} s^2 + A_{23} s + A_{33}}$$

где $A_{33} = K_3$, $A_{23} \neq K_3 T_3$, причем передаточная функция при размыкании контура эталонной системы по единичной обратной связи (по цепи сигнала y') имеет вид (рис. 14):

$$W_3(s) = \frac{K_3' (T_3 s + 1)}{s(T_{13} + 1)(T_{23} s + 1)} \quad (5.62)$$

где

$$K_3' = \frac{K_3}{A_{23} - K_3 T_3}, \quad A_{23} - K_3 T_3 > 0; \quad (5.63)$$

$$T_{13} \cdot T_{23} = \frac{A_{03}}{A_{23} - K_3 T_3}; \quad (5.64)$$

$$T_{13} + T_{23} = \frac{A_{13}}{A_{23} - K_3 T_3}. \quad (5.65)$$

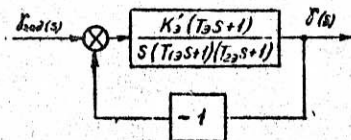


Рис. 14. Структурная схема эталонной системы

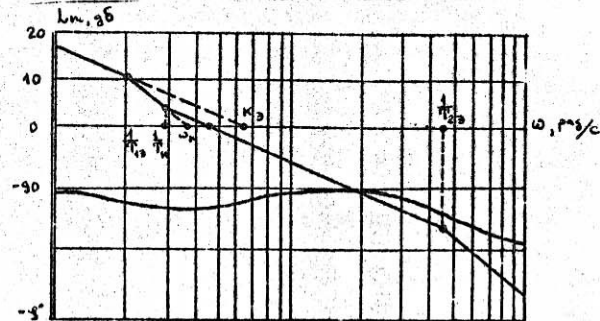


Рис. 15. ЛАЧХ эталонной системы

ЛАЧХ размыкнутой эталонной системы (5.62) приведена на рис. 15, причем между параметрами ЛАЧХ выдерживаются следующие соотношения:

$$T_n = 10 T_{23} \quad \text{и} \quad (2 \pm 1) \omega_c T_{23} = 1. \quad (5.66)$$

Из геометрии ЛАЧХ нетрудно получить

$$\omega_K^2 = \frac{\omega_c}{T_n} = \frac{\omega_y}{T_{13}}, \quad (5.67)$$

где $\omega_y = K_3'$.

Положим, что

$$\left. \begin{aligned} T_3 &\triangleq T_n, \quad A_{03} \triangleq b_1 T_n, \quad A_{13} \triangleq b_1 T_n + \mu_3 b_3 T_n, \quad A_{23} \triangleq \mu_3 b_3 + i_2 b_3 T_n, \\ A_{33} &= i_2 b_3. \end{aligned} \right\} \quad (5.68)$$

Тогда с учетом (5.63)–(5.68) получим

$$\left. \begin{aligned} K_3' &= \frac{i_2}{\mu_3}, \\ T_{13} \cdot T_{23} &= \frac{T_n}{\mu_3 b_3}, \\ T_{13} + T_{23} &= \frac{b_1 T_n + \mu_3 b_3 T_n}{\mu_3 b_3}, \\ T_n &= 10 T_{23} T_{13} i_2, \\ 2 &\leq \frac{T_n}{T_{13} T_{23} \mu_3} \leq 4. \end{aligned} \right\} \quad (5.69)$$

Решая совместно систему уравнений (5.69), получаем формулы для расчета величин передаточных чисел АП_ψ ИОС

$$M_3 = \frac{10 - \beta_1 T_H}{0,9 \beta_3 T_H} \quad \text{и} \quad i_3 = \frac{25 \div 50}{\beta_3 T_H}$$

Автопилот курса прямой схемы

При расчете передаточных чисел АП_ψ прямой схемы независимо от типа обратной связи принимают, что

$$t_{\text{рег.}\psi} \approx 6 \div 18 \text{ с}, \quad \sigma_{\psi} = 0, \quad \Delta_{\psi} = 0,05 \text{ ч.сек.}$$

На горизонтальных режимах полета и на режимах полета, близких к ним, условие (2.2) выполняется, поэтому в качестве математической модели бокового движения самолета для расчета параметров АП_ψ допустимо использовать только уравнения бокового движения "рыскание - скольжение".

Автопилот курса с жесткой обратной связью

Расчету подлежат два передаточных числа АП_ψ: M_H и i_H .

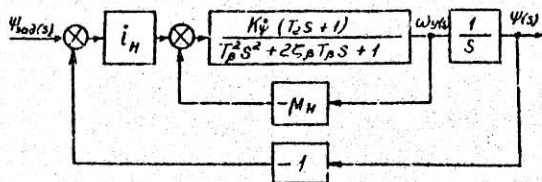


Рис. 16. Структурная схема системы "ЛА - АП_ψ ИОС" (прямая схема)

Структурная схема системы "самолет - АП_ψ" изображен на рис. 16. Передаточная функция замкнутой системы "самолет - АП_ψ" имеет вид

$$\frac{\Phi_{\psi}}{\Psi_{\text{зад}}} (s) = \frac{i_H K_{\psi} (T_{\psi} s + 1)}{T_{\beta}^2 s^3 + (2\xi_{\beta} T_{\beta} + M_H K_{\psi} T_{\psi}) s^2 + (i_H K_{\psi} T_{\psi} + i_H K_{\psi}) s + i_H K_{\psi}}, \quad (5.70)$$

где $K_{\psi} = \frac{a_3 a_4 - a_2 a_7}{a_1 a_4 + a_2}$, $T_{\psi} = \frac{a_3}{a_3 a_4 - a_2 a_7}$, $T_{\beta} = \frac{1}{\sigma_{\beta}}$,

$$\xi_{\beta} = \sqrt{a_1 a_4 + a_2}, \quad \sigma_{\beta} = \frac{a_1 + a_2}{2\sqrt{a_1 a_4 + a_2}}$$

Передаточная функция (5.70) формально идентична передаточной функции системы "ЛА - АП_ψ ИОС" (5.11). Действительно, при формальной замене K_{ψ} на K_c , T_{ψ} на T_v , ξ_{β} на ξ_{α} , σ_{β} на σ_{α} , M_H на M_B , i_H на i_{ψ} передаточная функция (5.70) переходит в передаточную функцию (5.11). Следовательно, метод расчета передаточных чисел АП_ψ ИОС, изложенный выше (для передаточной функции (5.11)), полностью применим и в рассматриваемом случае. Поэтому формулы для расчета параметров АП_ψ ИОС приведем без вывода:

$$M_H = -d + \sqrt{d^2 - m} \quad (5.71)$$

$$i_H = \frac{0,9 \div 1}{K_{\psi} T_{\psi}}, \quad (5.72)$$

где

$$d = \frac{2\xi_{\beta} T_{\beta} T_{\psi} + 2T_{\beta}^2}{K_{\psi} T_{\psi}^2} = \frac{a_1 a_3 + 2a_2 a_7 - a_3 a_4}{a_3^2};$$

$$m = \frac{4\xi_{\beta}^2 T_{\beta}^2 - 4T_{\beta}^2}{K_{\psi}^2 T_{\psi}^2} = \frac{(a_1 - a_4)^2 - 4a_2^2}{a_3^2};$$

$$K_{\psi}' = \frac{K_{\psi}}{1 + K_{\psi} \beta_H} = \frac{a_3 a_4 - a_2 a_7}{a_1 a_4 + a_2 + M_H (a_3 a_4 - a_2 a_7)}$$

Формулы (5.71), (5.72) могут быть представлены в следующем

виде:

$$M_H = -\frac{a_3(a_1 - a_4) + a_2 a_7}{a_3^2} + \sqrt{\frac{[a_3(a_1 - a_4) + a_2 a_7]^2}{a_3^4} - \frac{(a_1 - a_4)^2 - 4a_2^2}{a_3^2}}$$

$$i_H = (0,9 \div 1) \frac{a_1 a_4 + a_2 + M_H (a_3 a_4 - a_2 a_7)}{a_3}$$

Автопилоты курса с жесткой, скоростной и изолроной обратными связями

Передаточные числа АП_ψ с законами управления (5.16)–(5.19) рассчитываются аналогично передаточным числам автопилота тангажа АП_γ с законами управления (3.15), (3.17), (3.18). Поэтому здесь они не приводятся.

Автопилот курса перекрестной схемы

При расчете параметров АП_ψ перекрестной схемы считают, что передаточные числа АБУ канала руля направления (μ_H, T_H, δ) *, а также передаточные числа канала элеронов $(\mu_3, \zeta_3$ и $\nu_3)$ известны. Поэтому в данном случае необходимо определить величины только перекрестного передаточного числа ζ_3^* и постоянной времени T_{φ} фильтра нижних частот в цепи сигнала $\Delta\psi$ ($\Delta\psi = \psi - \psi_{3ог}$).

Если в [3] не заданы характеристики переходной функции $H(t)$, то обычно полагают, что они равны:

$$t_{пер.\psi} = 6 \div 18, \quad \zeta_{3\psi} = 0 \quad \text{и} \quad \Delta\psi = 0,05 \psi_{3ог}. \quad (5.73)$$

Несмотря на то, что в рассматриваемых режимах полета ЛА условие (2.2) выполняется, тем не менее схема построения АП_ψ диктует необходимость исследования "полной" математической модели бокового движения обобщенного объекта управления системы "ЛА - АБУ". На режимах горизонтального полета системы "ЛА - АБУ" в уравнениях движения ЛА допустимо не учитывать члены с коэффициентами $a_5, a_6, a_9, a_{10}, b_5, b_6, b_8$ и b_{10} , т.е. положить их равными нулю $a_5 = a_6 = a_9 = a_{10} = b_5 = b_6 = b_8 = b_{10} = 0$. При этих допущениях уравнения движения обобщенного объекта управления записывают как

$$\begin{aligned} (s + a_1)\omega_y + a_2\beta + a_3\delta_H^* &= 0, \\ -\omega_y + (s + a_4)\beta - (b_7s + b_4)\delta^* + a_7\delta_H^* &= 0, \\ -\mu_H \frac{T_H s}{T_H s + 1} \omega_y + \delta_H^* &= 0. \end{aligned} \quad (5.74)$$

Здесь $a_2' = a_2 + \frac{b a_3 a_4}{57,3 b_4 - b a_7}$, $a_4' = a_4 \frac{57,3 b_4}{57,3 b_4 - b a_7}$.

*) Параметры АБУ рассчитывают по следующим формулам [1]:

$$\mu_H = \frac{1}{a_3} [(0,4 \div 0,8) \sqrt{a_1 a_4 + a_2} - (a_1 + a_4)], \quad T_H = \frac{a_3}{a_3 a_4 - a_3 a_7}$$

$$\zeta = \frac{57,3 b_4 [(3 \div 5) - a_1 a_2 - a_2]}{(3 \div 5) a_7 + a_3 a_4 - a_2 a_7}$$

Когда в канале руля направления реализован только демпфер рыскания, вместо коэффициентов a_2' и a_4' в уравнениях (5.74) следует ввести коэффициенты a_2 и a_4 .

Закон управления АП_ψ (3.29)-(3.31)

Присоединяя к системе уравнений движения обобщенного объекта управления уравнения (3.29)-(3.31), получим передаточную функцию замкнутой системы "ЛА - АБУ - АП_ψ" на единичное управляющее возмущение $\psi_{3ог}$:

$$\frac{\varphi_{\psi}}{\psi_{3ог}}(s) = \frac{\zeta_3^* \zeta_3 a_2' (T_H s + 1)(b_7 s + b_4)}{(T_H s + 1)(A_0 s^6 + A_1 s^5 + A_2 s^4 + A_3 s^3 + A_4 s^2 + A_5 s) + (T_H s + 1) \zeta_3^* \zeta_3 a_2' (a_3 b_4)}, \quad (5.75)$$

где

$$\begin{aligned} A_0' &= T_H A_0; \\ A_1' &= A_0 + T_H A_1 + \mu_H T_H a_3; \\ A_2' &= A_1 + T_H A_2 + \mu_H T_H [a_3(a_4' + b_7 + \mu_3 b_3) - a_2' a_7]; \\ A_3' &= A_2 + T_H A_3 + \mu_H T_H [a_3(a_4' b_2 + b_2 b_7) + \zeta_3^* a_3 b_3 - \mu_3 b_3 (a_2' a_7 + a_3 a_4') - a_2' a_7 b_4]; \end{aligned} \quad (5.76)$$

$$A_4' = A_3 + T_H A_4 + \mu_H T_H [\zeta_3^* b_2 b_4 - \zeta_3^* b_3 (a_2' a_7 + a_3 a_4')];$$

$$A_5' = A_4;$$

$$A_0 = 1;$$

$$A_1 = a_1 + a_4' + b_7 + \mu_3 b_3;$$

$$A_2 = b_7(a_1 + a_4') + a_2' + a_4 a_4' + b_2 b_7 + \mu_3 b_3 (a_1 + a_4') + \zeta_3^* b_3;$$

$$A_3 = b_7(a_1 a_4' + a_2') + b_2(a_1 b_7 + b_4) + \mu_3 b_3 (a_2' + a_4 a_4') + \zeta_3^* b_3 (a_1 + a_4');$$

$$A_4 = a_1 b_2 b_4 + \zeta_3^* b_3 (a_2' + a_3 a_4').$$

Передаточная функция (5.76) имеет два неуправляемых нуля ($\lambda_1 = -\frac{1}{T_H}$ и $\lambda_2 = -\frac{b_4}{b_7}$) и не обладает астатизмом второго порядка. Поэтому для расчета параметров такой системы (ζ_3^* и T_{φ}) поступают следующим образом. Задает такую эталонную систему, передаточная функция которой для замкнутого контура управления при единичном возмущении не имеет нулей и записывается как

$$\varphi_3(s) = \frac{K_3}{A_{03} s^5 + A_{13} s^4 + A_{23} s^3 + A_{33} s^2 + A_{43} s + K_3}. \quad (5.77)$$

Передаточную функцию разомкнутой эталонной системы, как следует из (5.77), представляют в виде

$$W_0(s) = \frac{K_0}{s(A_{03}s^4 + A_{13}s^3 + A_{23}s^2 + A_{33}s + A_{43})} \quad (5.78)$$

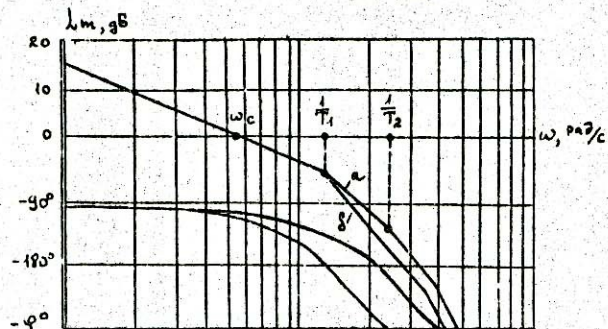


Рис. 17. ЛАФЧ эталонной системы

Переходная функция эталонной системы $H_0(t)$ удовлетворяет заданным требованиям /например, условиям (5.73)/, поэтому ЛАФЧ, соответствующая передаточной функции (5.78), имеет вид, изображенный на рис. 17. Для ЛАФЧ выдерживаются следующие соотношения:

$$2T_1\omega_c \leq 1 \leq 4T_1\omega_c \quad (5.79)$$

(для случая А)
или

$$4T_1\omega_c \leq 1 \leq 8T_1\omega_c \quad (5.80)$$

(для случая Б),
где

$$T_1 = \min(\lambda_i) \frac{1}{\sqrt{\lambda_j \lambda_j^*}}; \quad (5.81)$$

λ_i - минимальный по абсолютной величине вещественный корень уравнения

$$\sum_0^4 A_i \lambda^{5-i} = 0; \quad (5.82)$$

λ_j, λ_j^* - минимальные по модулю комплексно-сопряженные корни уравнения (5.82).

При $|\lambda_i| < |\sqrt{\lambda_j \lambda_j^*}|$ выполняется соотношение (5.79), а при $|\sqrt{\lambda_j \lambda_j^*}| < |\lambda_i|$ - соотношение (5.80).

Из геометрии ЛАФЧ очевидно, что $\omega_c = K_0$.

Для приведения проектируемой системы "ЛА - АП" к виду эталонной записывают передаточную функцию разомкнутой проектируемой системы. С этой целью из выражения знаменателя передаточной функции замкнутой системы (5.75) вычитают выражение числителя этой же передаточной функции, оставляя последний в выражении передаточной функции разомкнутой системы без изменения. В результате этой операции

$$\frac{W_{\psi_{\text{заг}}}(s)}{W_0(s)} = \frac{b_3 b_4 (T_H s + 1) (b_7 s + 1)}{s(A_0' s^5 + A_1' s^4 + A_2' s^3 + A_3' s^2 + A_4' s + A_5') (T_{\varphi 1} s + 1)}. \quad (5.83)$$

Полагая, что

$$T_{\varphi 1} = \frac{b_2}{b_4}, \quad (5.84)$$

компенсируют влияние одного нуля на переходную функцию проектируемой системы.

Решение уравнения

$$\sum_0^5 A_i' \lambda^{5-i} = 0, \quad (5.85)$$

коэффициенты которого известны, как правило, дает один вещественный корень по абсолютной величине, близкий к величине $1/T_H$. В этом случае компенсируется и влияние второго нуля передаточной функции (5.83). Если решение уравнения (5.85) не дает корня по абсолютной величине, близкого к величине $1/T_H$, то в этом случае в цепь сигнала $\psi_{\text{заг}}$ необходимо включить дополнительный фильтр низких частот с передаточной функцией $W_{\varphi 2}(s) = \frac{1}{T_H s + 1}$.

Таким образом, общий фильтр в цепи сигнала $\psi_{\text{заг}}$ будет представлять собой два последовательно включенных фильтра

$$W_{\varphi}(s) = \frac{1}{T_{\varphi 1} s + 1} \cdot \frac{1}{T_{\varphi 2} s + 1}.$$

Здесь величина постоянной времени $T_{\varphi 1}$ определяется выражением (5.84), а постоянная времени $T_{\varphi 2} = T_H$.

В результате зведения фильтров в цепь сигнала $\psi_{\text{заг}}$ передаточная функция (5.83) преобразуется к следующему виду:

$$W_{\psi} (s) = \frac{i_3^{\psi} i_3 b_3 b_4 a_2'}{s(A_0'' s^4 + A_1'' s^3 + A_2'' s^2 + A_3'' s + A_4'')} \quad (5.86)$$

или

$$W_{\psi} (s) = \frac{i_3^{\psi} i_3 b_3 b_4 a_2'}{s(A_0' s^5 + A_1' s^4 + A_2' s^3 + A_3' s^2 + A_4' s + A_5')} \quad \text{где } A_4'' = A_5'.$$

Передаточная функция (5.86) соответствует случаю, когда действительный корень уравнения (5.85) близок по абсолютной величине к величине $1/T_H$, т.е.

$$\sum_0^5 A_i'' \lambda^{5-i} \approx (\lambda_1 + \frac{1}{T_H}) \sum_0^4 A_j'' \lambda^{4-j}. \quad (5.87)$$

Вид передаточных функций проектируемой системы "ЛА - АП_ψ" совпадает с видом передаточной функции разомкнутой эталонной системы (5.73). Поэтому можно положить, что

$$K_2 = \frac{i_3^{\psi} i_3 b_3 b_4 a_2'}{(A_4'' = A_5')},$$

и, учитывая (5.79), (5.80), можно записать

$$2T_1' i_3^{\psi} i_3 b_3 b_4 a_2' \leq A_5' \leq 4T_1' i_3^{\psi} i_3 b_3 b_4 a_2' \quad (5.88)$$

или

$$4T_1' i_3^{\psi} i_3 b_3 b_4 a_2' \leq A_5' \leq 8T_1' i_3^{\psi} i_3 b_3 b_4 a_2'. \quad (5.89)$$

Здесь T_1' определяется по условию (5.81) в результате решения уравнения (5.85) или уравнения вида

$$\sum A_j'' \lambda^{4-j} = 0,$$

где коэффициенты A_j'' определяются из условия (5.87).

Таким образом, в неравенствах (5.88) и (5.89) неизвестной величиной является только перекрестное передаточное число i_3^{ψ} . Из этих неравенств получаем формулы для расчета величины перекрестного передаточного числа $A_1 \tau_4$:

для случая $|\lambda_c| < |\sqrt{\lambda_j \lambda_j'}|$

$$i_3^{\psi} = (0,25 \div 0,5) \frac{A_5'}{i_3 b_3 b_4 a_2' T_1'}$$

для случая $|\sqrt{\lambda_j \lambda_j'}| < |\lambda_c|$

$$i_3^{\psi} = (0,125 \div 0,25) \frac{A_5'}{i_3 b_3 b_4 a_2' T_1'}$$

Законы управления АП_ψ (3.32)-(3.33) и (3.34)-(3.35)

Методика вывода формул для расчета параметров АП_ψ с законами управления (3.32)-(3.33) и (3.34)-(3.35) аналогична рассмотренной для АП_ψ ЖОС. Поэтому ниже приведены формулы без вывода.

Постоянная времени T_{ϕ} фильтра низких частот в цепи сигнала $\psi_{\text{зод}}$ определяется независимо от закона управления АП_ψ выражением (5.84).

Перекрестное передаточное число i_3^{ψ} АП_ψ рассчитывается по следующим формулам.

Для АП_ψ СОС / закон (3.32)-(3.33):

при $|\lambda_c| < |\sqrt{\lambda_j \lambda_j'}|$

$$i_3^{\psi} = (0,25 \div 0,5) \frac{A_6'}{i_3^* b_3 b_4 a_2' T_1'}$$

$$\text{при } |\sqrt{\lambda_j \lambda_j'}| < |\lambda_c| \quad i_3^{\psi} = (0,125 \div 0,25) \frac{A_6'}{i_3^* b_3 b_4 a_2' T_1'}$$

Здесь параметр T_1' определяется по условию (5.81) в результате решения уравнений:

$$\sum_0^5 A_i'' \lambda^{5-i} = 0 \quad (5.90)$$

или

$$\sum_0^6 A_j' \lambda^{6-i} = 0,$$

где $A_0' = T_H A_0$;

$$A_1' = A_0 + T_H A_1 + \mu_H T_H a_3;$$

$$A_2' = A_1 + T_H A_2 + \mu_H T_H [a_3(b_1 + a_1' + \mu_3 b_3) - a_2' a_7];$$

$$A_3' = A_2 + T_H A_3 + \mu_H T_H [a_3(a_4' b_1 + b_2 b_7 - \mu_3 a_4' b_3 + i_3 b_3) - a_7 (\mu_3 a_2' b_3 + a_2' b_1)];$$

$$A_4' = A_3 + T_H A_4 + \mu_H T_H [a_3(b_2 b_4 - i_3 a_4' b_3 + i_3 b_3) - a_7 i_3 a_2' b_3];$$

$$A_5' = A_4 + T_H A_5 + \mu_H T_H i_3 b_3 (a_3 a_4' - a_2' a_7);$$

$$A_6' = A_5;$$

$$A_0 = A_2 - \text{см. (5.76)};$$

$$A_3 = b_1 (a_2'' + a_1 a_4') + b_2 (b_4 + a_1 b_7) + \mu_3 b_3 (a_2' + a_1 a_4') + i_3 b_3 (a_1 + a_4') + i_3^* b_3;$$

$$A_4 = a_4' b_2 b_4 + i_3 (a_2' + a_1 a_4') + i_3^* b_3 (a_1 + a_4');$$

$$A_5 = \nu_3 \nu_3 (a_2' + a_1 a_4')$$

Коэффициенты A_j'' определяются из условия

$$\sum_0^6 A_i' A^{6-i} \approx (T_2 \lambda + 1) \sum_0^6 A_j'' \lambda^{5-j}$$

Уравнение (5.90) используют, когда один из его корней близок по абсолютной величине к $\sim 1/T_2$.

Для АП по ИСС /закон (3.34)-(3.35)/:

при $|\lambda_c| < |\sqrt{\lambda_j \lambda_j'}|$

$$\dot{\omega}_3 \Psi = (0,25 + 0,5) \frac{A_K}{\nu_3 \nu_3 \nu_4 a_2' T_1'} , A_K = \begin{cases} A_6' \\ A_5' \end{cases}$$

при $|\sqrt{\lambda_j \lambda_j'}| < |\lambda_c|$ $\dot{\omega}_3 \Psi = (0,125 + 0,25) \frac{A_K}{\nu_3 \nu_3 \nu_4 a_2' T_1'} , A_K = \begin{cases} A_6' \\ A_5' \end{cases}$

Здесь параметр T_1' определяется по условию (5.81) в результате решения уравнений $\sum_0^6 A_i' \lambda^{6-i} = 0$ или $\sum_0^6 A_j'' \lambda^{5-j} = 0$.

где $A_0' = T_2 T_2 A_0$;

$$A_1' = T_2 A_0 + T_2 T_2 A_1 + \mu_2 T_2 a_3 T_2$$

$$A_2' = T_2 A_1 + T_2 T_2 A_2 + \mu_2 T_2 [\nu_3 (a_4' + \nu_1 + \mu_3 \nu_3) - a_2 a_2'] T_2$$

$$A_3' = T_2 A_2 + T_2 T_2 A_3 + \mu_2 T_2 [a_3 (a_4' \nu_3 + \nu_2 \nu_4) + \nu_3 a_3 \nu_3 - \mu_3 \nu_3 (a_2' a_1 + a_3 a_4') - a_2' a_1 \nu_1] T_2$$

$$A_4' = T_2 A_3 + T_2 T_2 A_4 + \mu_2 T_2 [a_3 \nu_3 \nu_4 - \nu_3 \nu_3 (a_2' a_1 + a_3 a_4')] T_2$$

$$A_5' = T_2 A_4$$

$$A_6' = A_4$$

$$A_1 = A_4 - \text{см. (5.73)}.$$

Коэффициенты A_j'' определяются из условия

$$\sum_0^6 A_i' \lambda^{6-i} \approx (T_2 s + 1) \sum_0^6 A_j'' \lambda^{5-j}$$

Глава 6. ПОРЯДОК ВЫПОЛНЕНИЯ РАСЧЕТА СТРУКТУРЫ АП

Некоторые пояснения

Синтез структуры АП следует проводить в таком порядке:

1. Записать соответствующие уравнения движения ЛА совместно с выбранным первичным законом управления АП. Составить структурную схему контура управления системы "ЛА - АП".

2. Разомкнуть контур управления системы "ЛА - АП" по внешней единичной связи и записать передаточную функцию разомкнутой проектируемой системы.

3. Подобрать передаточную функцию разомкнутой эталонной системы "ЛА - АП".

4. Используя принцип эквивалентности ($A_{пр} \approx A_{э}$), составить систему уравнений и вывести рабочие формулы для определения передаточных чисел АП.

5. Рассчитать по выведенным формулам для заданного в ТЗ времени регулирования $t_{рег.зад.мин}$ и $t_{рег.зад.мах}$ величину параметров АП для каждого режима полета ЛА.

6. Построить зависимости величин передаточных чисел АП по режимам полета ЛА и аппроксимировать эти зависимости.

7. Провести математическое моделирование системы "ЛА - АП" с аппроксимированными значениями передаточных чисел АП и построить переходные процессы системы на управляющее возмущение.

При выполнении п. 5 в ряде случаев могут получиться отрицательные значения некоторых передаточных чисел. В этом случае их целесообразно положить равными нулю. (Равенство нулю отрицательных передаточных чисел при реализации АП на элементах аналоговой техники **ОБЯЗАТЕЛЬНО!**)

В режимах полета на больших высотах с большими числами M вследствие падения эффективности органов управления рассчитанные по рабочим формулам величины передаточных чисел АП могут оказаться технически нереализуемыми. Невозможность технической реализации больших по абсолютной величине значений передаточных чисел объясняется нелинейными характеристиками элементов и узлов конструкции реального АП. Ниже приведены примерные диапазоны технически реализуемых величин передаточных чисел АП.

Автопилот стабилизации приращения нормальной перегрузки

$$\mu_y = 0,01 \div 2,0 \text{ град} \cdot \text{с}^2 / \text{град} \cdot \text{с}^{-1} \cdot \omega_z$$

$$\dot{\gamma}_{ny} = 0,05 \div 6,0 \text{ град} \cdot \text{с}^2 / \text{с} \cdot \Delta \gamma_y$$

$$\gamma_{ny} = 0,03 \div 8,0 \text{ град} \cdot \text{с}^{-1} \cdot \text{с}^2 / \text{с} \cdot \Delta \gamma_y$$

Автопилот угла тангажа

$$\text{АП, КОС: } \mu = 0,01 \div 2,0 \text{ град} \cdot \text{с}^2 / \text{град} \cdot \text{с}^{-1} \cdot \omega_z; \dot{\gamma} = 0,02 \div 2,5 \text{ град} \cdot \text{с}^2 / \text{град} \cdot \text{с}$$

$$\text{АП, СОС: } \mu = 0,5 \div 6,0 \text{ град} \cdot \text{с}^2 / \text{град} \cdot \text{с}^{-2} \cdot \omega_z; \dot{\gamma} = 0,3 \div 7,0 \text{ град} \cdot \text{с}^2 / \text{град} \cdot \text{с}^{-1} \cdot \omega_z;$$

$$\gamma = 0,2 \div 6,0 \text{ град} \cdot \text{с}^{-1} \cdot \text{с}^2 / \text{град} \cdot \text{с}$$

$$\text{АП, МОС: } \mu = 0,1 \div 2,5 \text{ град} \cdot \text{с}^{-1} / \text{град} \cdot \text{с}^{-1} \cdot \omega_z; \dot{\gamma} = 0,05 \div 2,5 \text{ град} \cdot \text{с}^{-1} \cdot \text{с}^2 / \text{град} \cdot \text{с};$$

$$T_{11} = 1 \div 3 \text{ с}$$

Автопилот стабилизации заданного крена

$$\text{АП, МОС: } \mu_y = 0,03 \div 2,0 \text{ град} \cdot \text{с}^2 / \text{град} \cdot \text{с}^{-1} \cdot \omega_z; \dot{\gamma} = 0,01 \div 1,5 \text{ град} \cdot \text{с}^2 / \text{град} \cdot \text{с}$$

$$\text{Перекрестное передаточное число АП } \dot{\gamma}_y = 1 \div 10 \text{ град} \cdot \text{с} / \text{град} \cdot \text{с}$$

ЛИТЕРАТУРА

1. Окоемов Б.Н., Зеленов Ю.С., Малахов А.А. Алгоритмизация методов проектирования структур автопилотов. - М.: МВТУ, 1981.
2. Решение типовых задач синтеза структур автопилота с применением ЭЦМ: Учебное пособие / Под ред. Н.А. Михалева. - М.: МВТУ, 1977.
3. Белоцерковский С.М., Скрипач Б.К. Аэродинамические производные летательного аппарата и крыла при дозвуковых скоростях. - М.: Наука, 1975.